



# **PROJETO DE CONTROLADORES USANDO RESPOSTA EM FREQUÊNCIA TEMPO CONTÍNUO**

**Profa. Cristiane Paim**

# Introdução

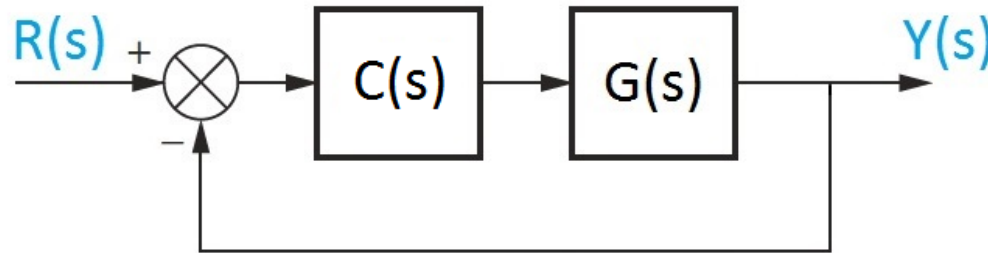
No projeto de controladores usando a resposta em frequência as principais especificações de desempenho são:

- Margem de Fase
- Largura de Faixa
- Erro de Regime Permanente

Como visto anteriormente, **margem de fase e largura de faixa** estão relacionadas com características da **resposta transitória**. A **margem de fase** está associada com o **coeficiente de amortecimento** enquanto a **largura de faixa** está relacionada com a **velocidade da resposta**.

# Controladores em Avanço

Seja a configuração de controle em série;



O controlador em avanço é escrito na forma

$$C(s) = K \frac{1 + \alpha Ts}{1 + Ts} \quad T > 0, \alpha > 1$$

ou, em frequência

$$C(j\omega) = K \frac{1 + j\omega\alpha T}{1 + j\omega T}$$

# Controladores em Avanço

A resposta em frequência do controlador, considerando  $K=1$  (por simplicidade), terá as variações de módulo e fase definidas a seguir.

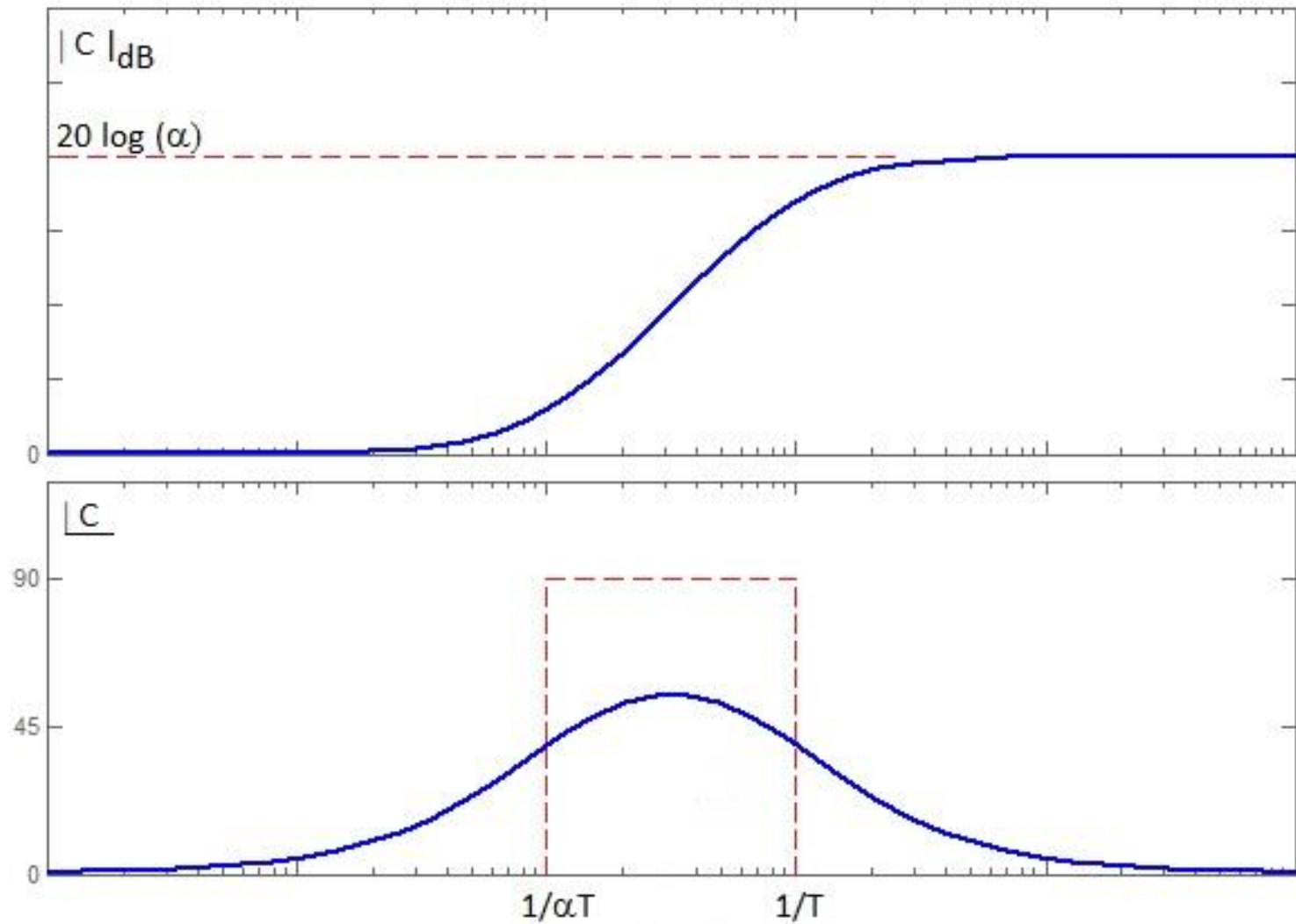
$$C(j\omega) = \frac{1 + j\omega\alpha T}{1 + j\omega T}$$

Frequência	Módulo	Fase
$\omega=0$ a $\omega=1/\alpha T$	0 dB/dec	$0^\circ$
$\omega=1/\alpha T$ a $\omega=1/T$	20 dB/dec	$90^\circ$
$\omega=1/T$ a $\omega \rightarrow \infty$	0 dB/dec	$0^\circ$

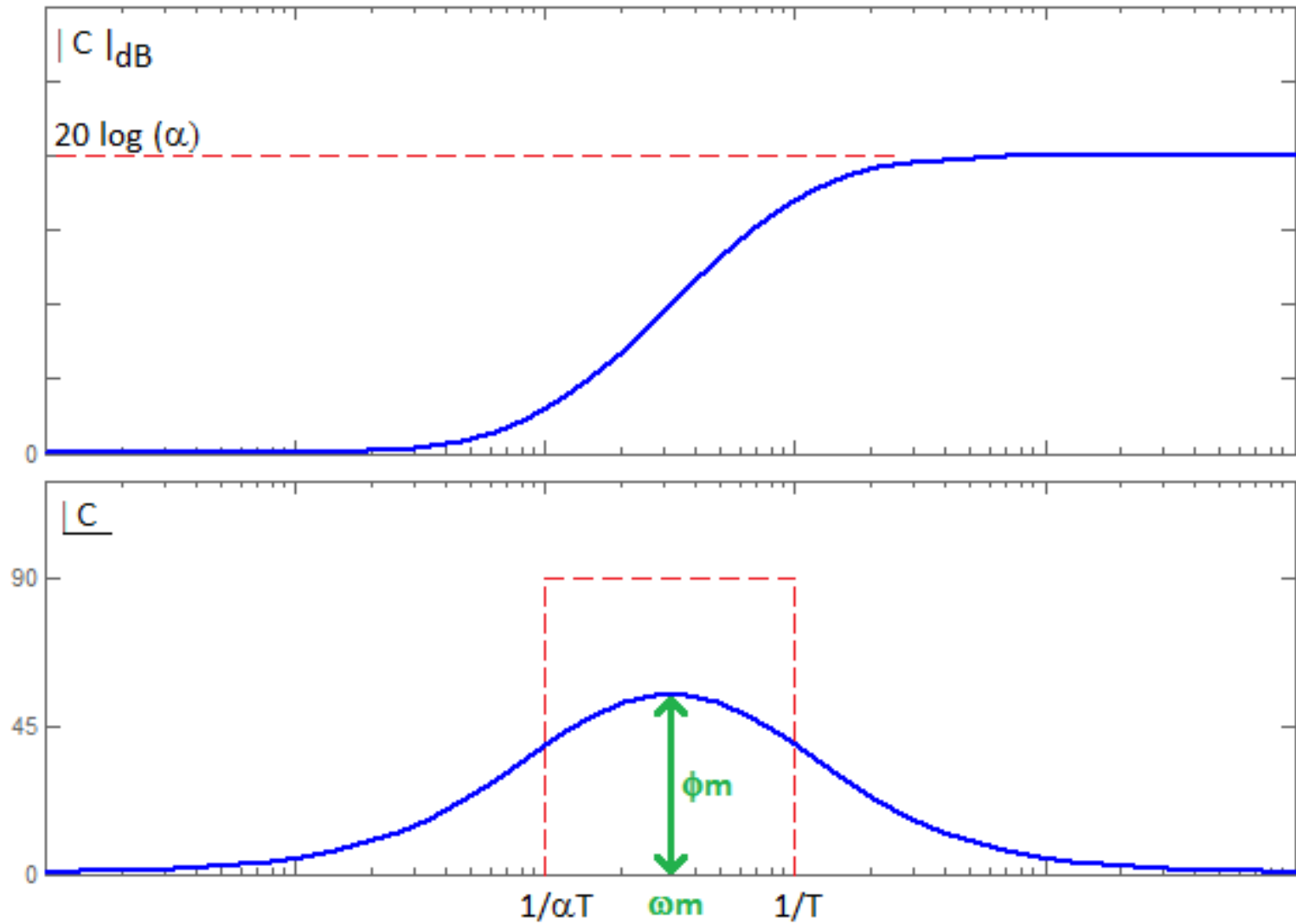
$$\omega \rightarrow 0 \rightarrow |C| = 0 \text{ dB} \quad \angle C = 0^\circ$$

$$\omega \rightarrow \infty \rightarrow |C| = 20 \log(\alpha) \quad \angle C = 0^\circ$$

# Diagramas de Bode para um controladores em avanço



# Diagramas de Bode para um controladores em avanço



# Controladores em Avanço

A fase do controlador é dada por:

$$C(j\omega) = K \frac{1 + j\omega\alpha T}{1 + j\omega T}$$

$$\angle C(j\omega) = \operatorname{tg}^{-1}(\alpha T\omega) - \operatorname{tg}^{-1}(T\omega)$$

Definindo,

$$\phi(\omega) = \angle C(j\omega)$$

e calculando a tangente, tem-se

$$\operatorname{tg} \phi(\omega) = \frac{(\alpha - 1)T\omega}{1 + \alpha T^2 \omega^2}$$

O pico de fase do controlador ocorre na frequência onde

$$\frac{d}{d\omega} \operatorname{tg} \phi(\omega) = 0$$



# Controladores em Avanço

Resolvendo a equação, chega-se que a frequência onde pico ocorre é dada por

$$\omega_m = \frac{1}{T\sqrt{\alpha}}$$

Na frequência de pico ( $\omega_m$ ),

$$\operatorname{tg} \phi(\omega_m) = \operatorname{tg} \phi_m = \frac{\alpha - 1}{2\sqrt{\alpha}}$$

ou

$$\operatorname{sen} \phi_m = \frac{\alpha - 1}{\alpha + 1}$$



# Controladores em Avanço

Assim, quanto maior o valor de  $\alpha$ , maior será o ângulo de fase ( $\phi_m$ ) e menor (mais à esquerda) será a frequência onde o pico ocorre ( $\omega_m$ ).

Por exemplo, considerando  $T=K=1$ , tem-se

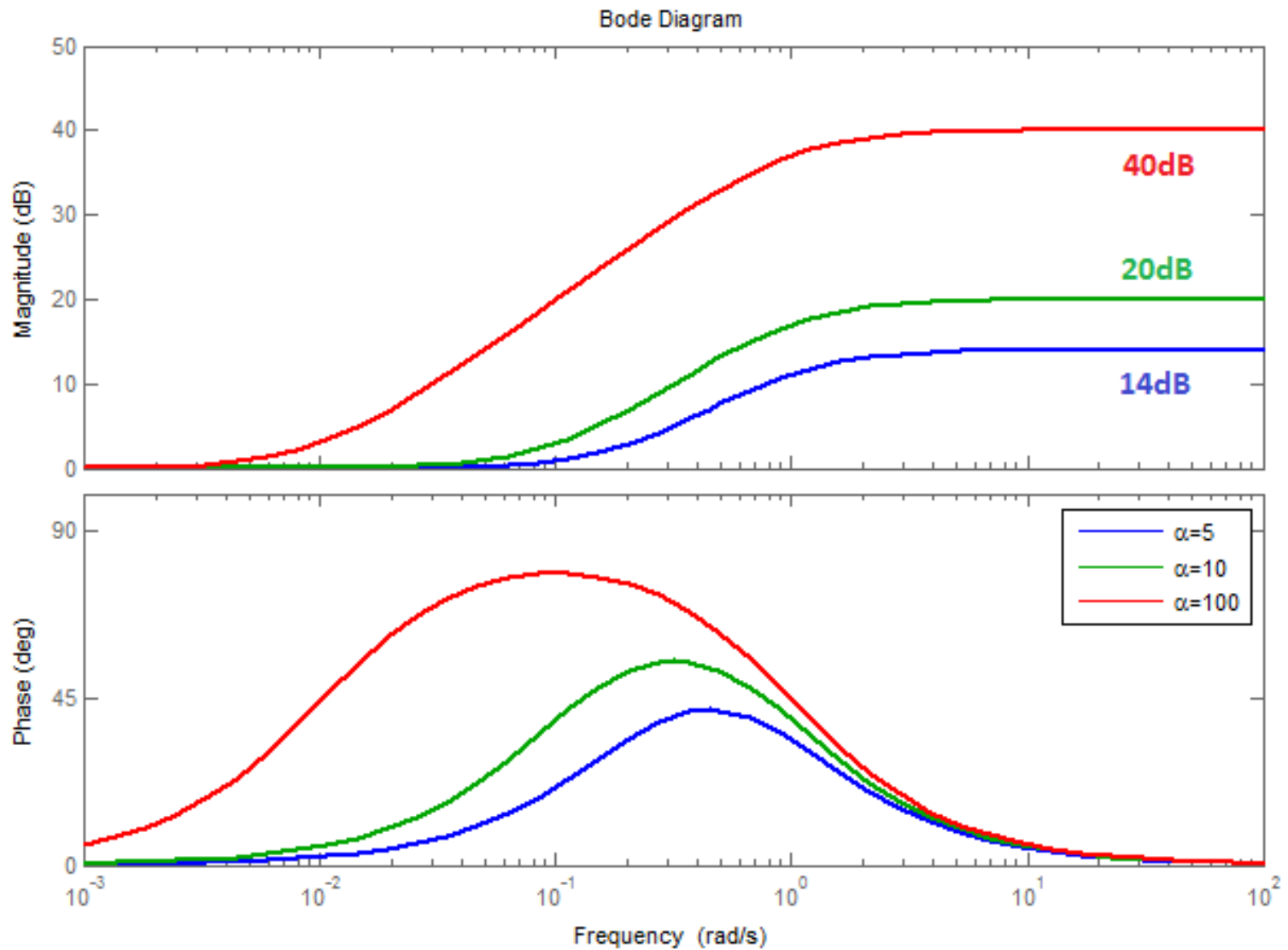
$$C(j\omega) = \frac{1 + j\omega\alpha}{1 + j\omega}$$

$$\sin \phi_m = \frac{\alpha - 1}{\alpha + 1}$$

$$\omega_m = \frac{1}{T\sqrt{\alpha}}$$

$\alpha$	$\omega_m$	$\phi_m$
5	0,45	41,8°
10	0,32	54,9°
100	0,10	78,6°

# Controladores em Avanço



# Controladores em Avanço

O valor de  $\alpha$ , entretanto, não deve ser muito grande para evitar ruídos de alta frequência. Usualmente  $\alpha < 20$ .

O valor de  $\alpha$  pode ser reescrito como

$$\alpha = \frac{1 + \sin \phi_m}{1 - \sin \phi_m}$$

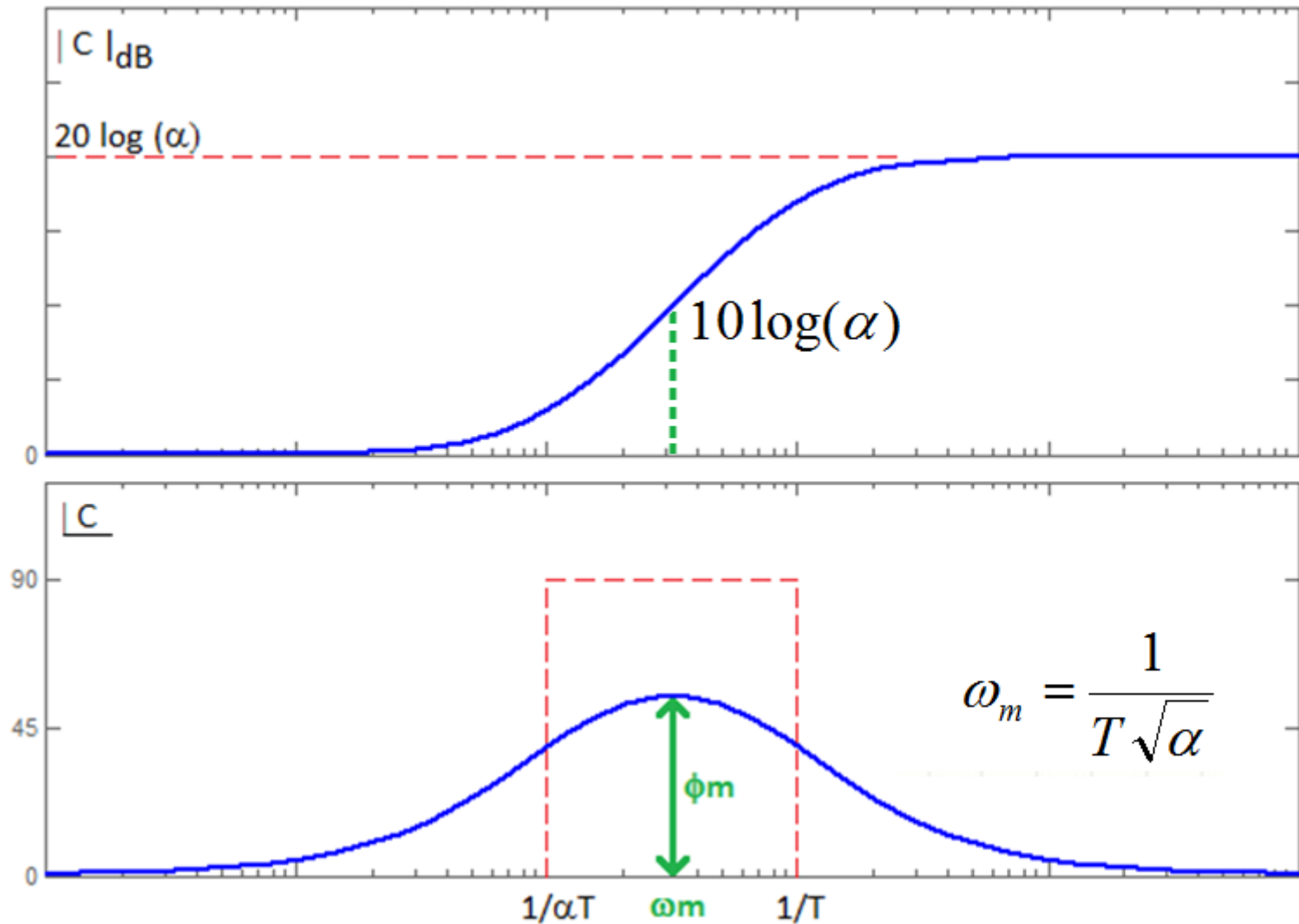
Na frequência de pico ( $\omega_m$ ), o módulo do controlador é dado por

$$|C(j\omega_m)| = \sqrt{\alpha}$$

ou

$$|C(j\omega_m)|_{dB} = 20 \log \sqrt{\alpha} = 10 \log(\alpha)$$

# Controladores em Avanço



# Controladores em Avanço

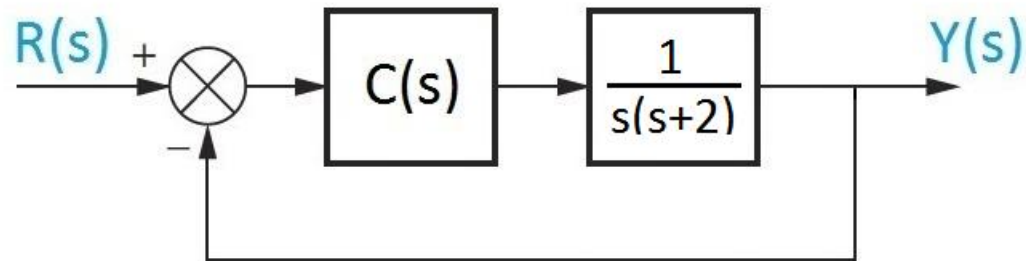
O controlador em avanço é projetado com o objetivo de **aumentar a margem de fase** do sistema melhorando assim a estabilidade e as características da **resposta transitória**.

Fazendo  $\omega_m$  igual a frequência de cruzamento de ganho do sistema não compensado ( $\omega_G$ ) a fase aumentaria de um fator  $\phi_m$ . Por outro lado, o controlador também introduz uma modificação no módulo, causando um pequeno deslocamento de  $\omega_G$  para a direita, acarretando uma redução na margem de fase.

O efeito deste deslocamento pode ser compensado introduzindo no projeto uma “**margem de segurança**” na determinação de  $\phi_m$ .

# Exemplo 1

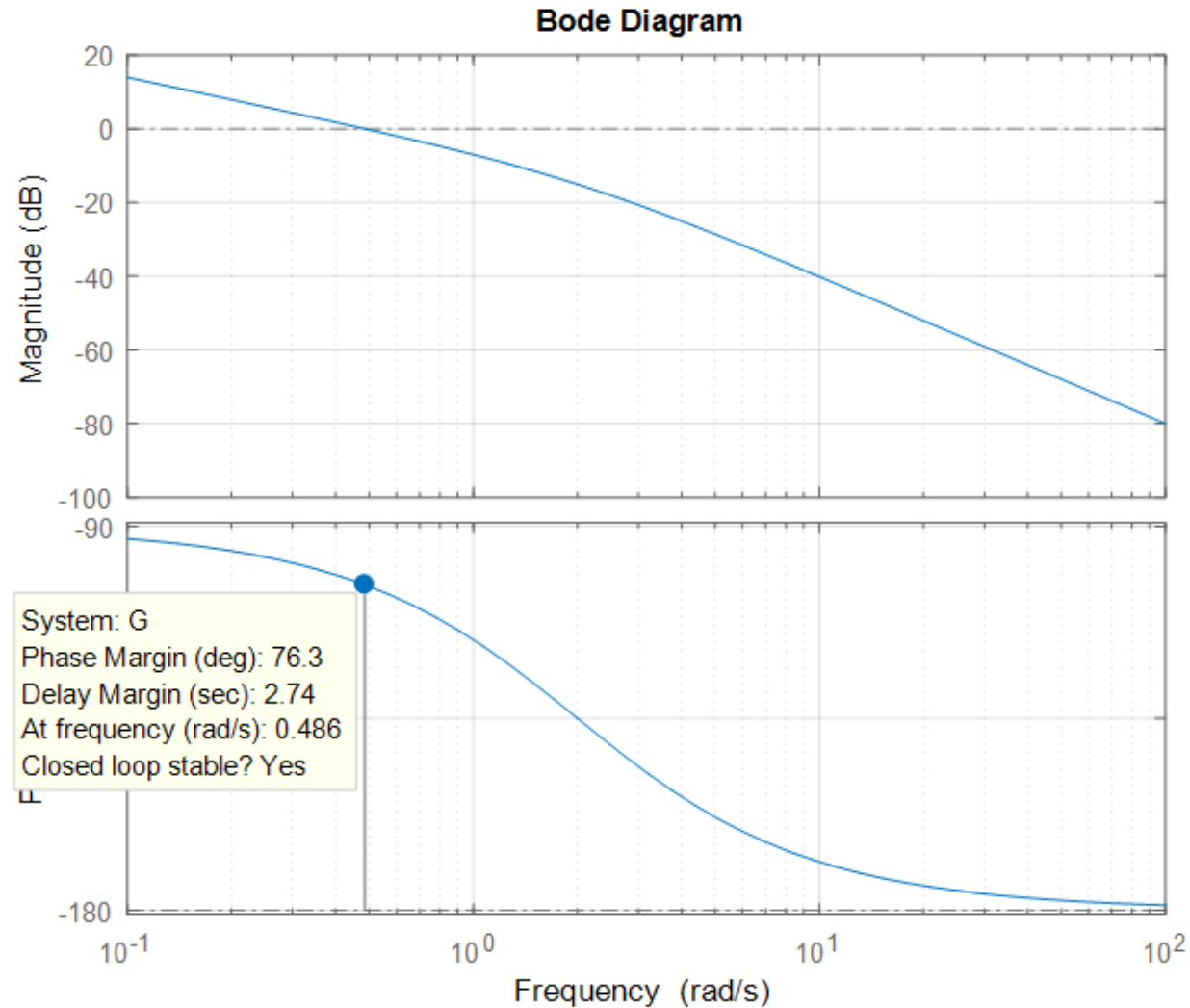
Seja o sistema de controle a seguir.



Projetar um controlador em avanço de fase de modo a atender as seguintes especificações:

- Erro à rampa menor ou igual a 10%
- Margem de fase maior ou igual a  $60^\circ$

# Exemplo 1 – Diagramas de Bode para $G(s)$





## Exemplo 1

Como visto no diagrama de bode, a especificação de margem de fase já é atendida porém o erro de regime permanente é muito maior do que a especificação.

$$K_V = \lim_{s \rightarrow 0} sG(s) = \frac{1}{2} \rightarrow e_\infty = 2$$

O ganho K do controlador pode ser ajustado para garantir a especificação de erro. Entretanto, este ajuste causará uma redução na margem de fase que será corrigida com a alocação do polo e do zero do controlador em avanço.

## Exemplo 1

Introduzindo o controlador em avanço, o erro de regime permanente torna-se:

$$K_V = \lim_{s \rightarrow 0} sC(s)G(s) = \frac{K}{2} \rightarrow e_{\infty} = \frac{2}{K}$$

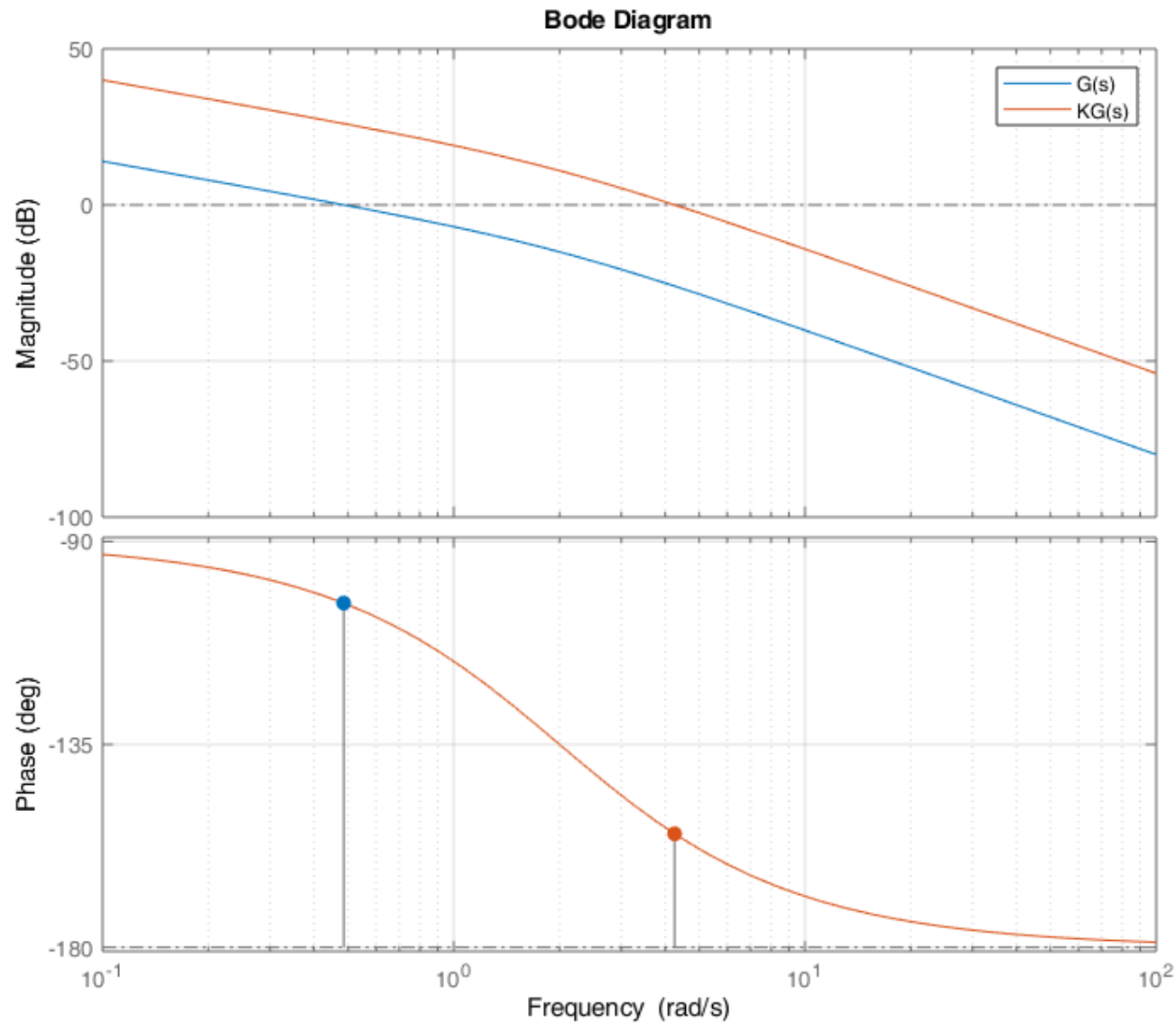
Assim, para garantir a especificação de erro,

$$e_{\infty} = \frac{2}{K} \leq 0,1 \rightarrow K \geq 20$$

Para  $K=20$  tem-se

$$KG(j\omega) = \frac{20}{(j\omega)(j\omega + 2)}$$

# Exemplo 1 – Diagramas de Bode para $G(s)$ e $KG(s)$



## Exemplo 1

A frequência de cruzamento de ganho  $\omega_G$  será determinada por

$$|KG(j\omega)| = \frac{20}{\omega\sqrt{\omega^2 + 4}} = 1 \rightarrow \omega^4 + 4\omega^2 - 400 = 0$$

$$\begin{aligned} \omega &= \pm 4,25 \\ \omega &= \pm j4,7 \end{aligned} \rightarrow \omega_G = 4,25$$

Nesta frequência

$$\angle KG(j\omega_G) = -\text{tg}^{-1}\left(\frac{2}{-\omega_G}\right) = -154,8^\circ$$

Portanto,

$$MF = 180^\circ - 154,8^\circ = 25,2^\circ$$

## Exemplo 1

A contribuição de fase do controlador é escolhida de modo a garantir a margem de fase desejada.

$$\phi_m = 60^\circ - 25,2^\circ + 10,2^\circ = 45^\circ$$

Diagram illustrating the calculation of the phase margin ( $\phi_m$ ):

- MF do sistema (KG) (green text) points down to the first term ( $60^\circ$ ).
- MF desejada (red text) points up to the second term ( $- 25,2^\circ$ ).
- Ajuste de Fase (blue text) points up to the third term ( $+ 10,2^\circ$ ).

Geralmente, o ajuste de fase é feito adicionando uma fase entre 5 e 12 graus.

Definida a contribuição de fase do controlador, o valor de  $\alpha$  pode ser calculado:

$$\alpha = \frac{1 + \sin \phi_m}{1 - \sin \phi_m} \rightarrow \alpha = 5,83$$

## Exemplo 1

A frequência de cruzamento de ganho do sistema controlado, será definida pela condição de módulo

$$|C(j\omega_c)G(j\omega_c)| = 1$$

Assim, para conseguir o aumento necessário de fase, a frequência de cruzamento de ganho é ajustada para o pico de fase do controlador

$$|K\sqrt{\alpha} G(j\omega_c)| = 1$$

$$\frac{20}{\omega\sqrt{\omega^2 + 4}} = \frac{1}{\sqrt{\alpha}} \rightarrow \omega^4 + 4\omega^2 - 2332,9 = 0$$

$$\omega = \pm 6,81$$

$$\omega = \pm j7,1 \rightarrow \omega_c = 6,8$$

# Exemplo 1

## Verificação

$$\angle KG(j\omega_c) = -\operatorname{tg}^{-1}\left(\frac{2}{-\omega_c}\right) = -163,6^\circ$$

$$MF = 180^\circ - 163,6^\circ + 45^\circ = 61,4^\circ > 60^\circ$$

Para concluir o projeto falta definir **polo e zero do controlador**.

A frequência de cruzamento de ganho do sistema controlado deve ser posicionada na frequência de pico do controlador:

$$\omega_c = \omega_m = \frac{1}{T\sqrt{\alpha}} \quad \rightarrow \quad T = \frac{1}{\omega_c\sqrt{\alpha}}$$



## Exemplo 1

Assim,

$$T = \frac{1}{\omega_C \sqrt{\alpha}} = 0,061 \quad \text{e} \quad \alpha T = 0,355$$

O controlador em avanço fica na forma

$$C(s) = 20 \frac{1 + 0,355s}{1 + 0,061s}$$

ou

$$C(s) = 116,4 \frac{s + 2,82}{s + 16,4}$$

# Exemplo 1 – Controlador Proporcional ( $C(s)=1$ )

## 1. Sistema com $C(s)=1$

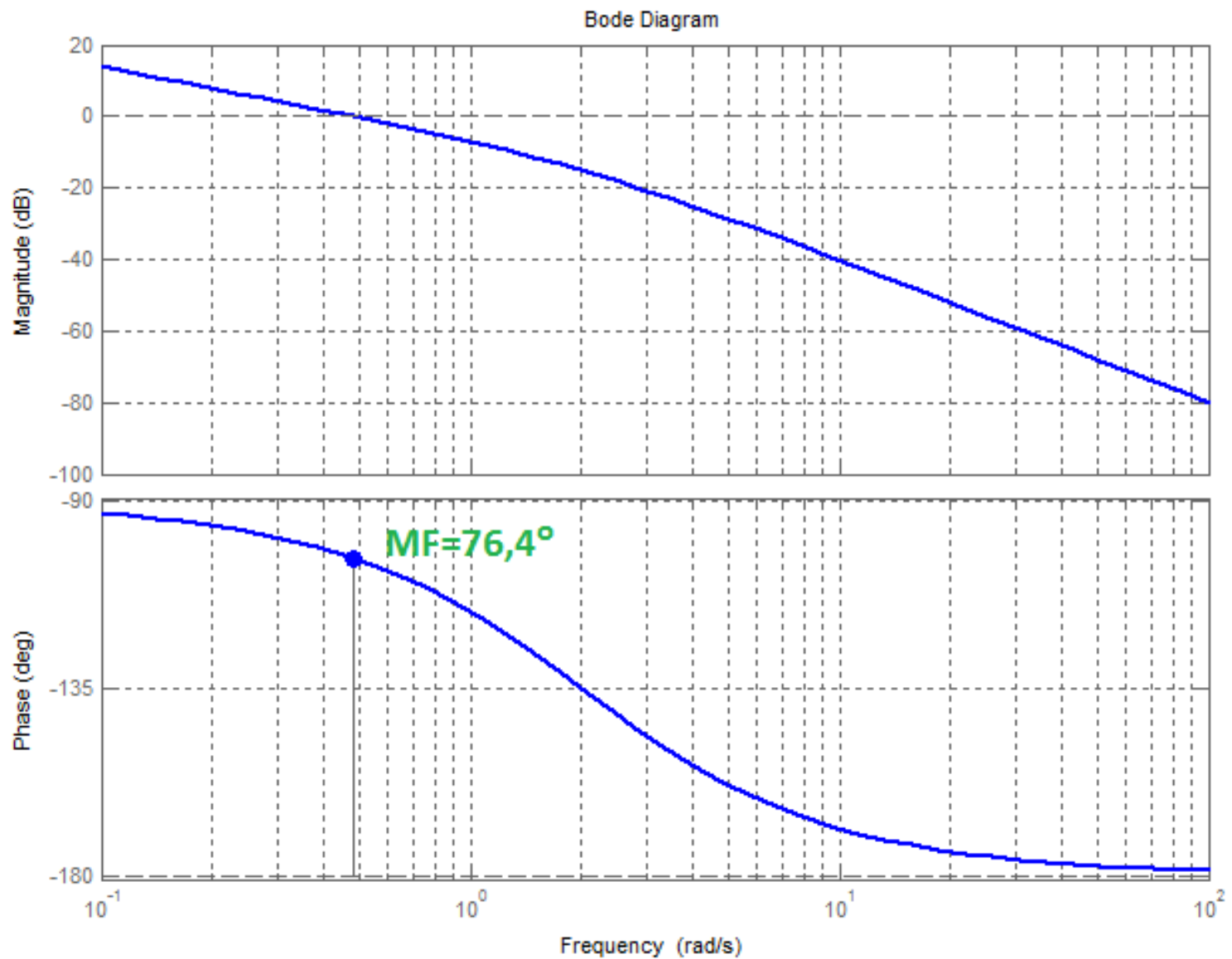
$$G(s) = \frac{1}{s(s+2)} \rightarrow \begin{aligned} MG &= \infty \\ MF &= 76,4^\circ \\ \omega_{CG} &= 0,486 \end{aligned}$$

$$Kv = \lim_{s \rightarrow 0} sG(s) = \frac{1}{2} \rightarrow e_\infty = 200\%$$

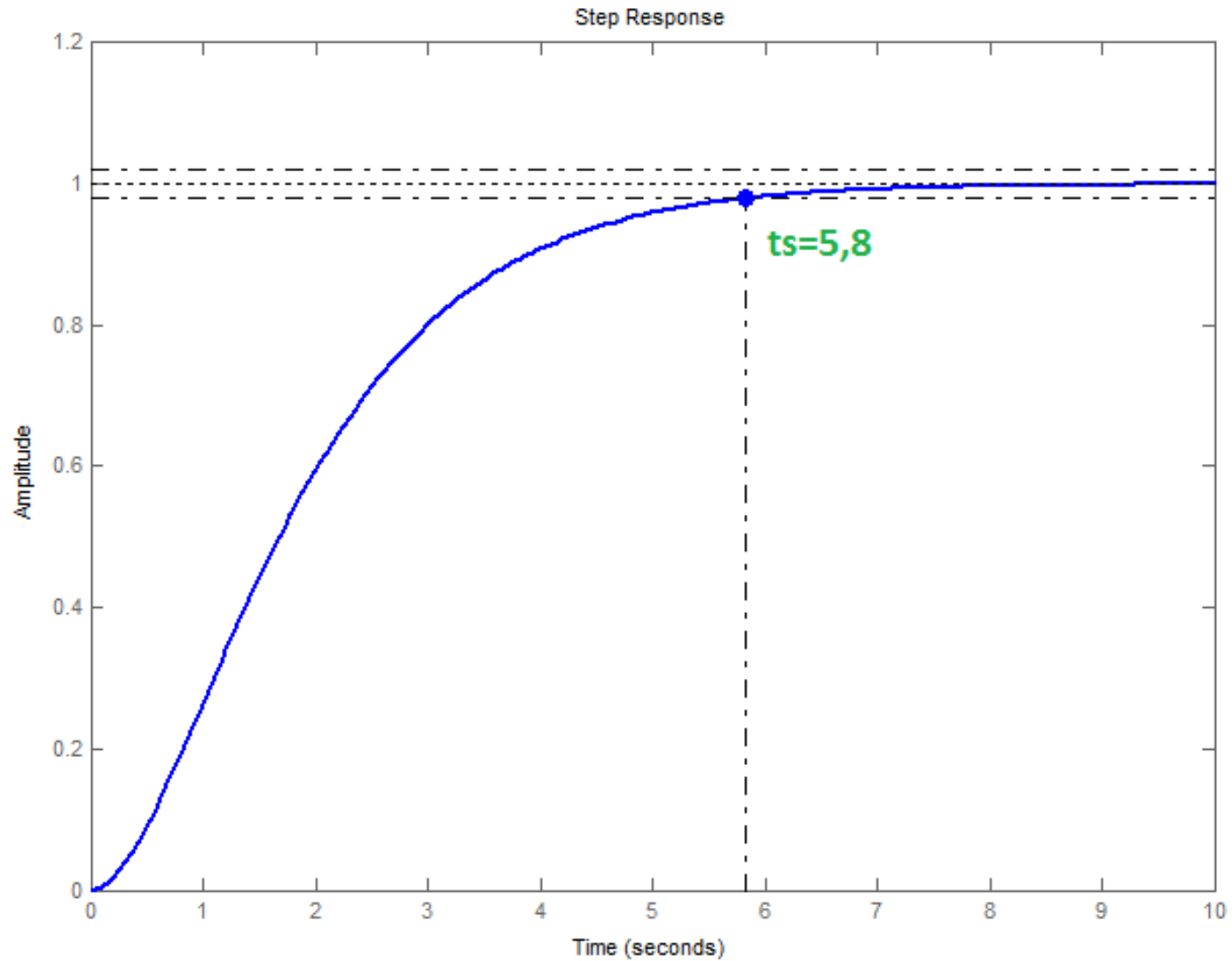
No domínio do tempo:

$$T(s) = \frac{1}{s^2 + 2s + 1} \rightarrow \begin{aligned} M_P &= 0\% \\ t_s &= 5,8 \end{aligned}$$

# Exemplo 1 – Diagramas de Bode para $C(s)=1$



## Exemplo 1 – Resposta ao degrau para $C(s)=1$



# Exemplo 1 – Controlador Proporcional (K=20)

## 2. Sistema com ganho K=20

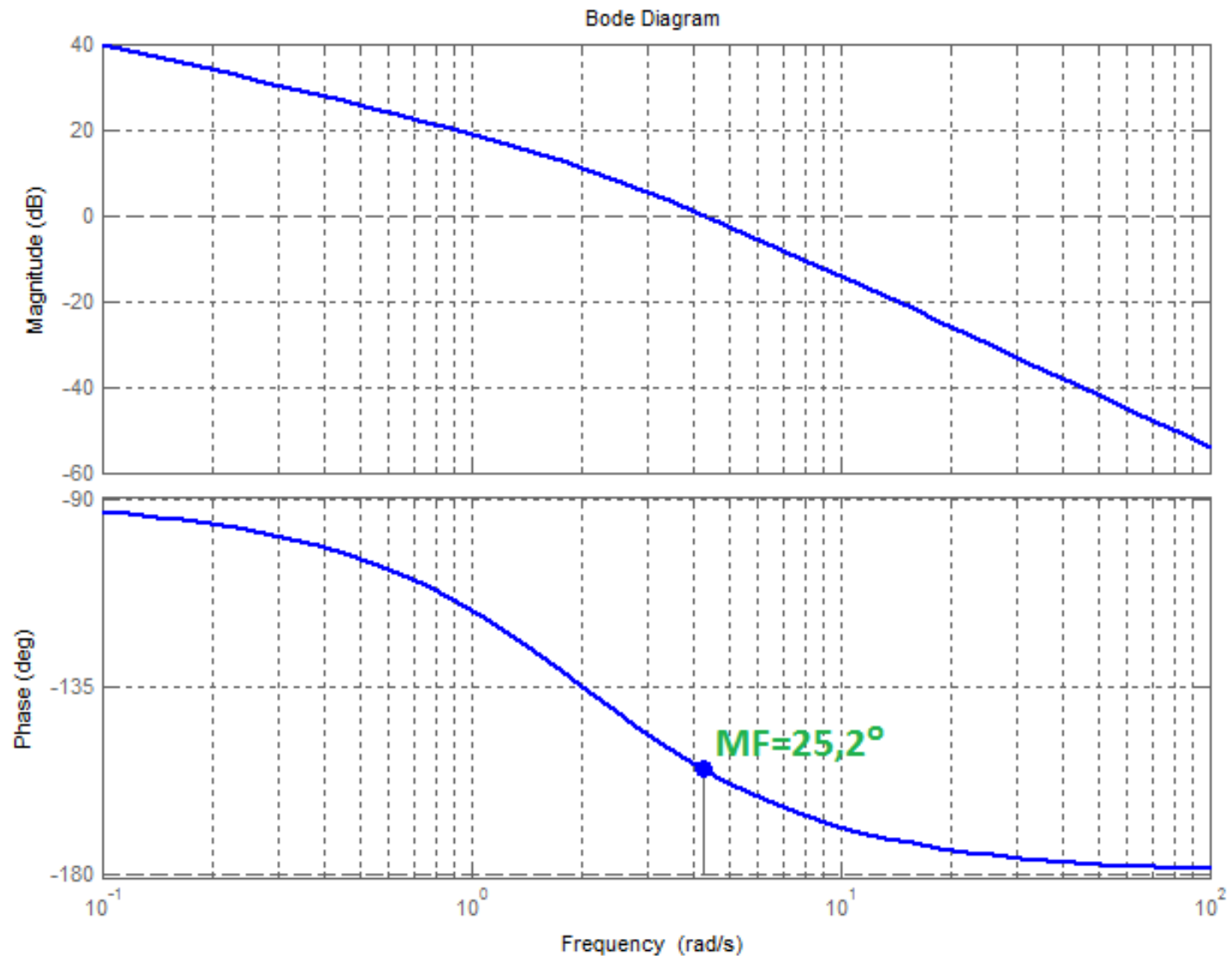
$$G(s) = \frac{20}{s(s+2)} \rightarrow \begin{aligned} MG &= \infty \\ MF &= 25,4^\circ \\ \omega_{CG} &= 4,25 \end{aligned}$$

$$K_V = \lim_{s \rightarrow 0} sG(s) = 10 \rightarrow e_\infty = 10\%$$

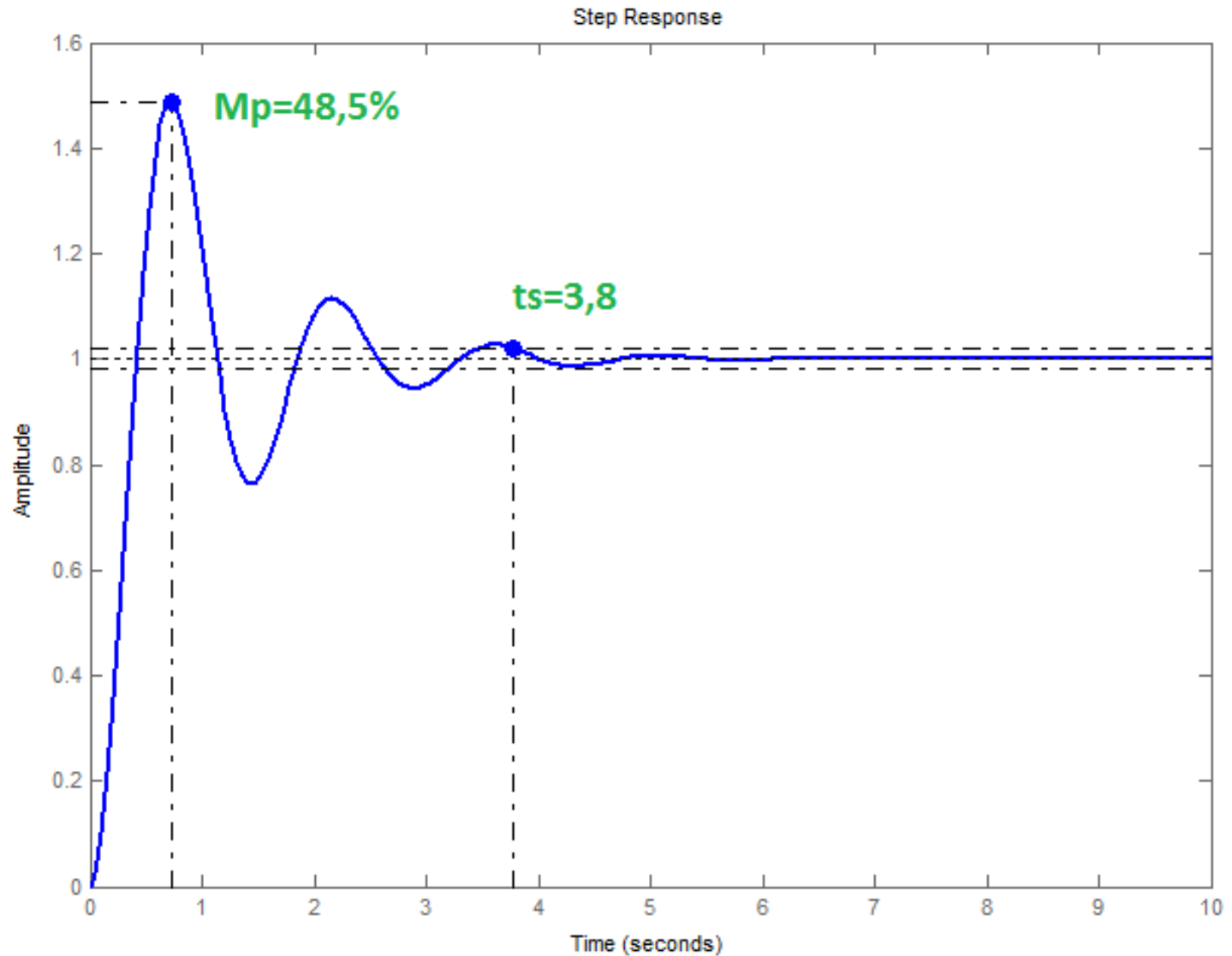
No domínio do tempo:

$$T(s) = \frac{20}{s^2 + 2s + 20} \rightarrow \begin{aligned} M_p &= 48,5\% \\ t_s &= 3,8 \end{aligned}$$

# Exemplo 1 – Diagramas de Bode para $KG(s)$



## Exemplo 1 – Resposta ao degrau para $K=20$





# Exemplo 1 – Controlador em avanço

## 3. Sistema com controlador em avanço

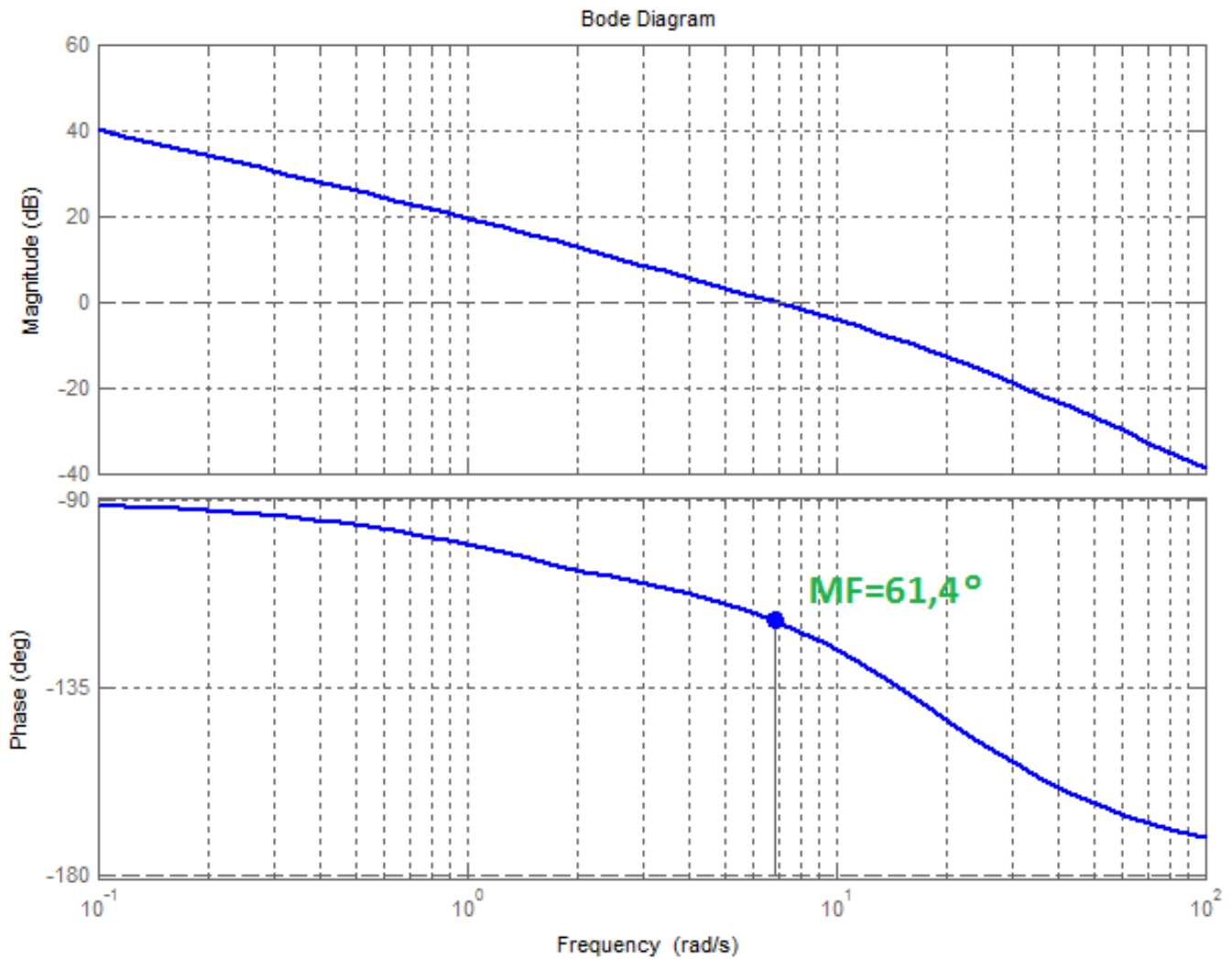
$$C(s)G(s) = \frac{116,4(s + 2,82)}{s(s + 2)(s + 16,4)} \rightarrow \begin{aligned} MG &= \infty \\ MF &= 61,4^\circ \\ \omega_{CG} &= 6,8 \end{aligned}$$

$$K_v = \lim_{s \rightarrow 0} sG(s) = 10 \rightarrow e_\infty = 10\%$$

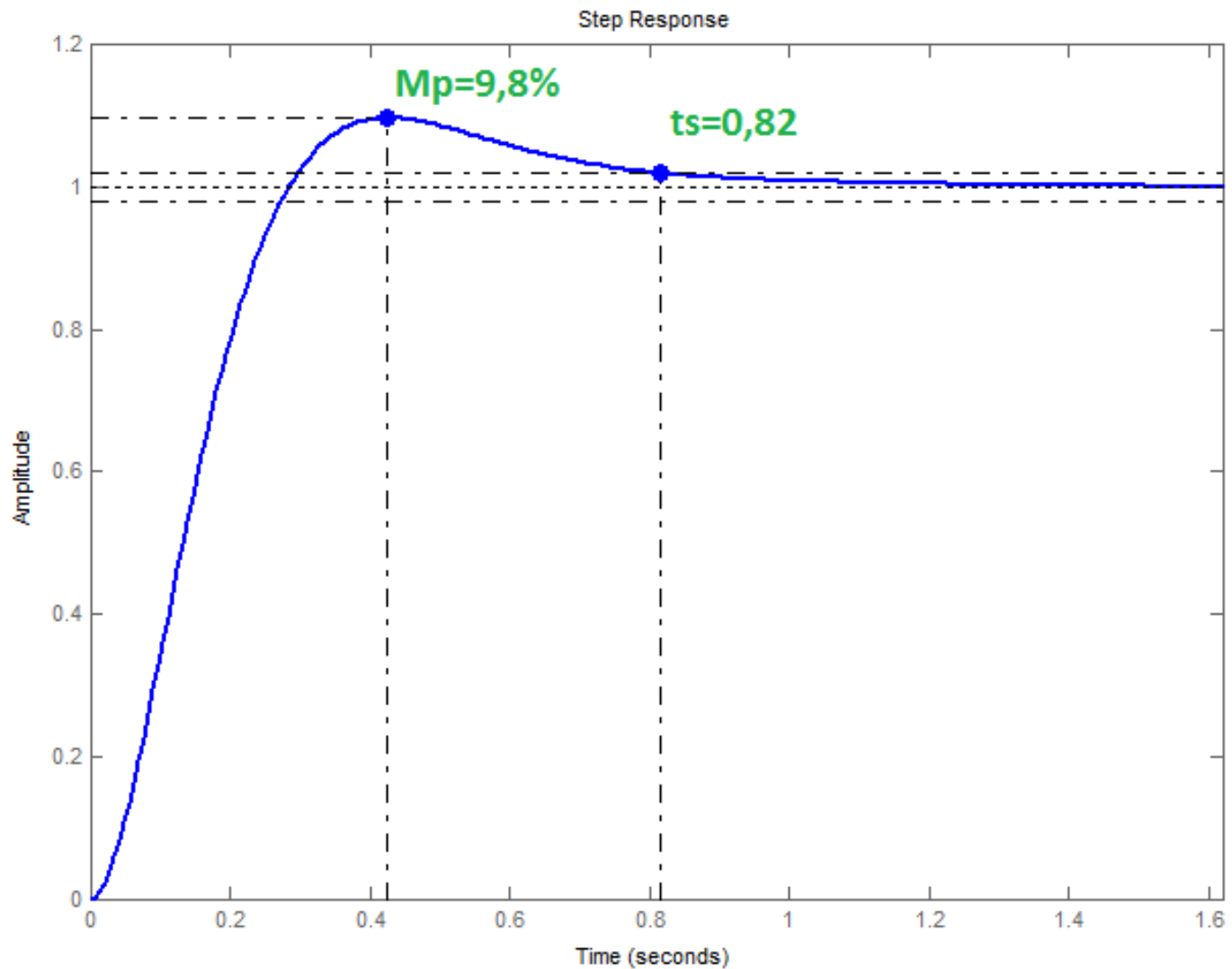
No domínio do tempo:

$$T(s) = \frac{116,4(s + 2,82)}{s^3 + 18,4s^2 + 149,2s + 328,2} \rightarrow \begin{aligned} M_P &= 9,8\% \\ t_s &= 0,82 \text{ seg} \end{aligned}$$

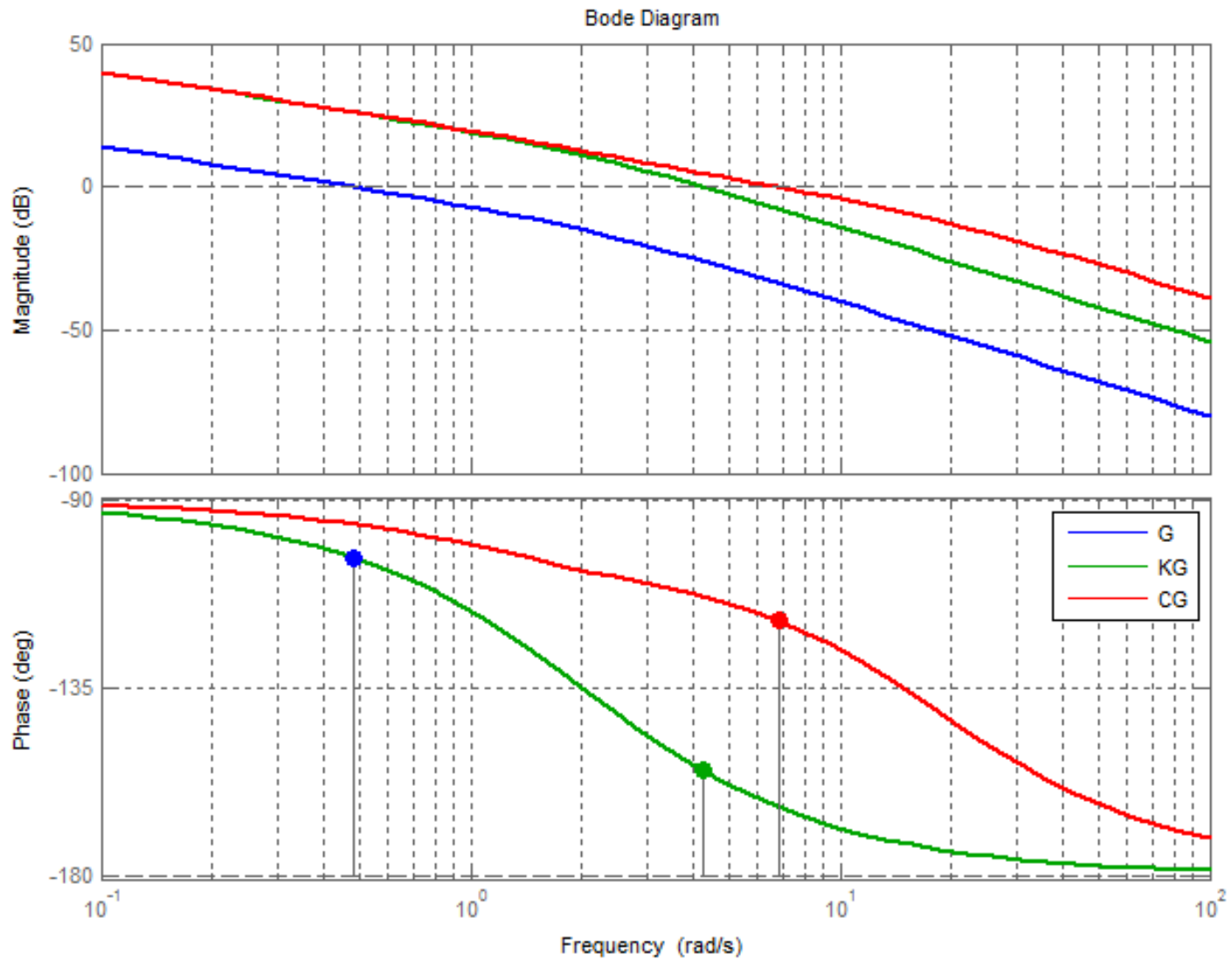
# Exemplo 1 – Diagramas de Bode com $C_{AV}(S)$



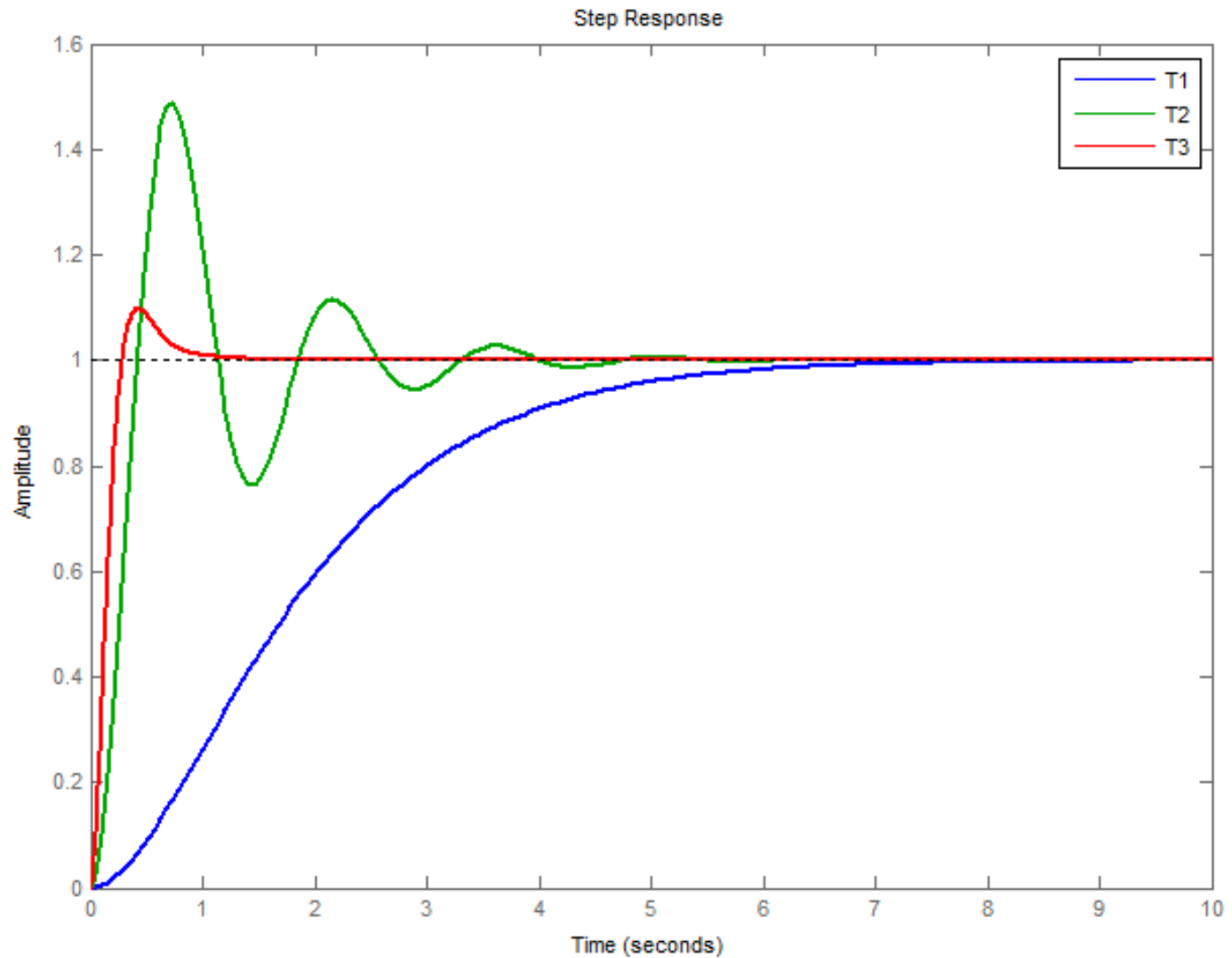
## Exemplo 1 – Resposta ao degrau com $C_{AV}(S)$



# Exemplo 1 – Diagramas de Bode (comparativo)



## Exemplo 1 – Resposta ao degrau (comparativo)



# Controladores em Avanço

## Efeitos da introdução de um controlador em avanço

- Melhoria na margem de fase → redução de sobressinal
- Aumento da largura de faixa → maior velocidade da resposta

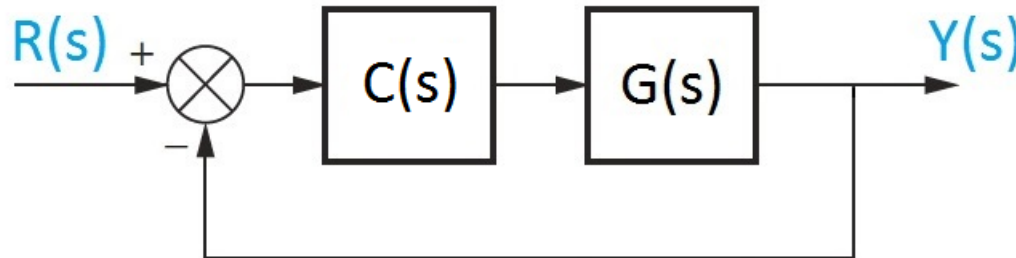
## Limitações

Necessidade de fase muito grande para o controlador o que acarretaria em valores elevados de  $\alpha$ . Isto implica em grande largura de faixa podendo gerar problemas de ruído. Além disso, valores elevados de  $\alpha$  podem levar a problemas de implementação prática em função do dimensionamento dos componentes.

**Recomenda-se que o valor de  $\alpha$  não seja superior a 20.**

# Controladores em Atraso

Seja a configuração de controle em série;



O controlador em atraso é escrito na forma

$$C(s) = K \frac{1 + \alpha Ts}{1 + Ts} \quad T > 0, 0 < \alpha < 1$$

ou, em frequência

$$C(j\omega) = K \frac{1 + j\omega\alpha T}{1 + j\omega T}$$



# Controladores em Atraso

A resposta em frequência do controlador, considerando  $K=1$  por simplicidade, terá as variações de módulo e fase definidas a seguir.

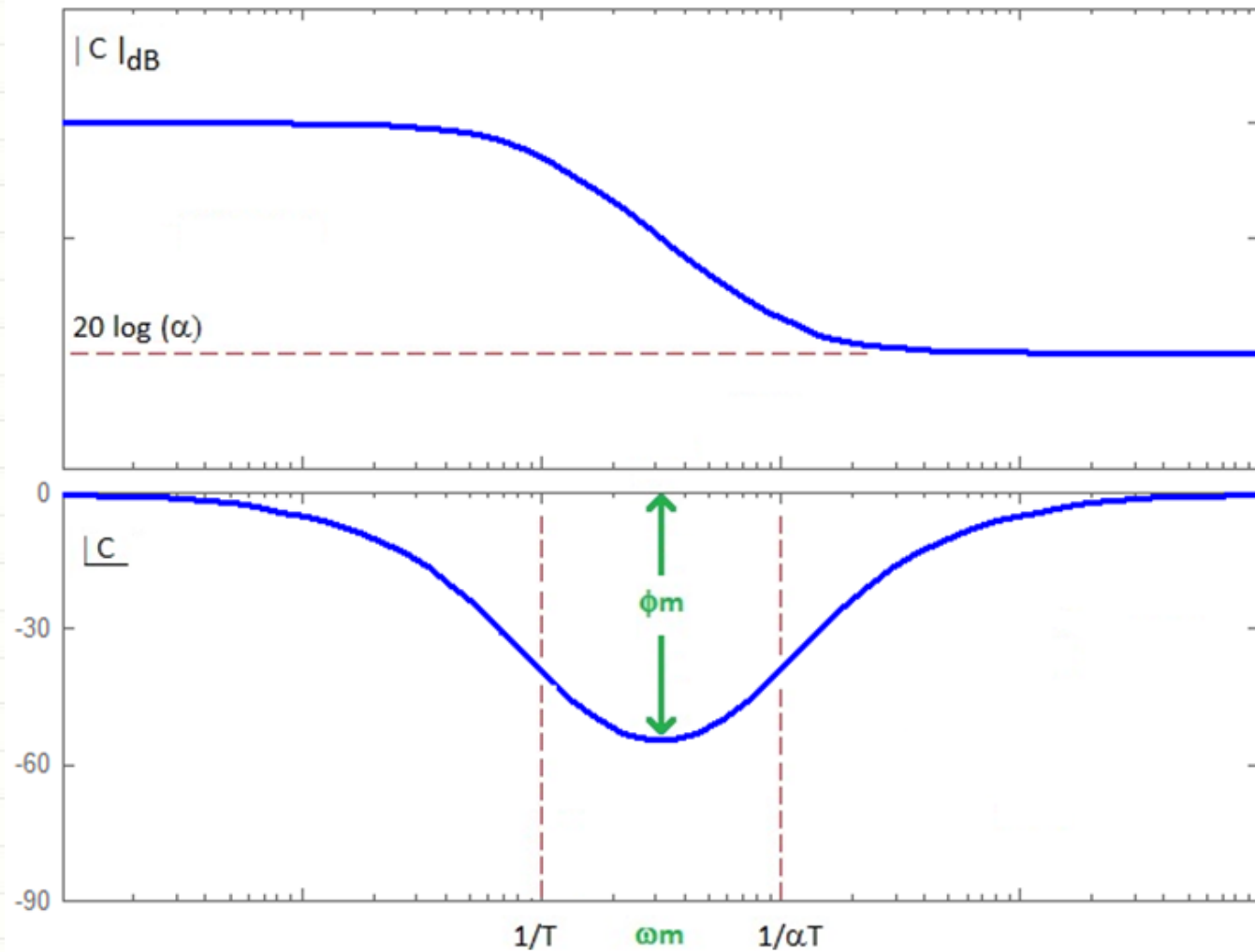
$$C(j\omega) = \frac{1 + j\omega\alpha T}{1 + j\omega T}$$

Frequência	Módulo	Fase
$\omega=0$ a $\omega=1/T$	0 dB/dec	$0^\circ$
$\omega=1/T$ a $\omega=1/\alpha T$	-20 dB/dec	$-90^\circ$
$\omega=1/T$ a $\omega \rightarrow \infty$	0 dB/dec	$0^\circ$

$$\omega \rightarrow 0 \rightarrow |C| = 0 \text{ dB} \quad \angle C = 0^\circ$$

$$\omega \rightarrow \infty \rightarrow |C| = 20 \log(\alpha) \quad \angle C = 0^\circ$$

# Controladores em Atraso



# Controladores em Atraso

Os valores de  $\omega_m$  e  $\phi_m$  são os mesmos obtidos para o controlador em avanço:

$$\omega_m = \frac{1}{T\sqrt{\alpha}}$$

$$\sin \phi_m = \frac{\alpha - 1}{\alpha + 1}$$

Entretanto, a metodologia de projeto será diferente uma vez o pico de fase do controlador é negativo.

Neste caso, **polo e zero do controlador em atraso, serão alocados em uma frequência abaixo da frequência de cruzamento de ganho** (para atender a MF desejada) de modo que a contribuição de fase (negativa) não provoque redução na MF do sistema controlado.

## Controladores em Atraso

Escolhe-se a frequência de cruzamento de ganho do sistema controlado,  $\omega_c$ , uma década acima do zero do controlador, ou seja,

$$\omega_c = \frac{10}{\alpha T}$$

Nesta frequência,

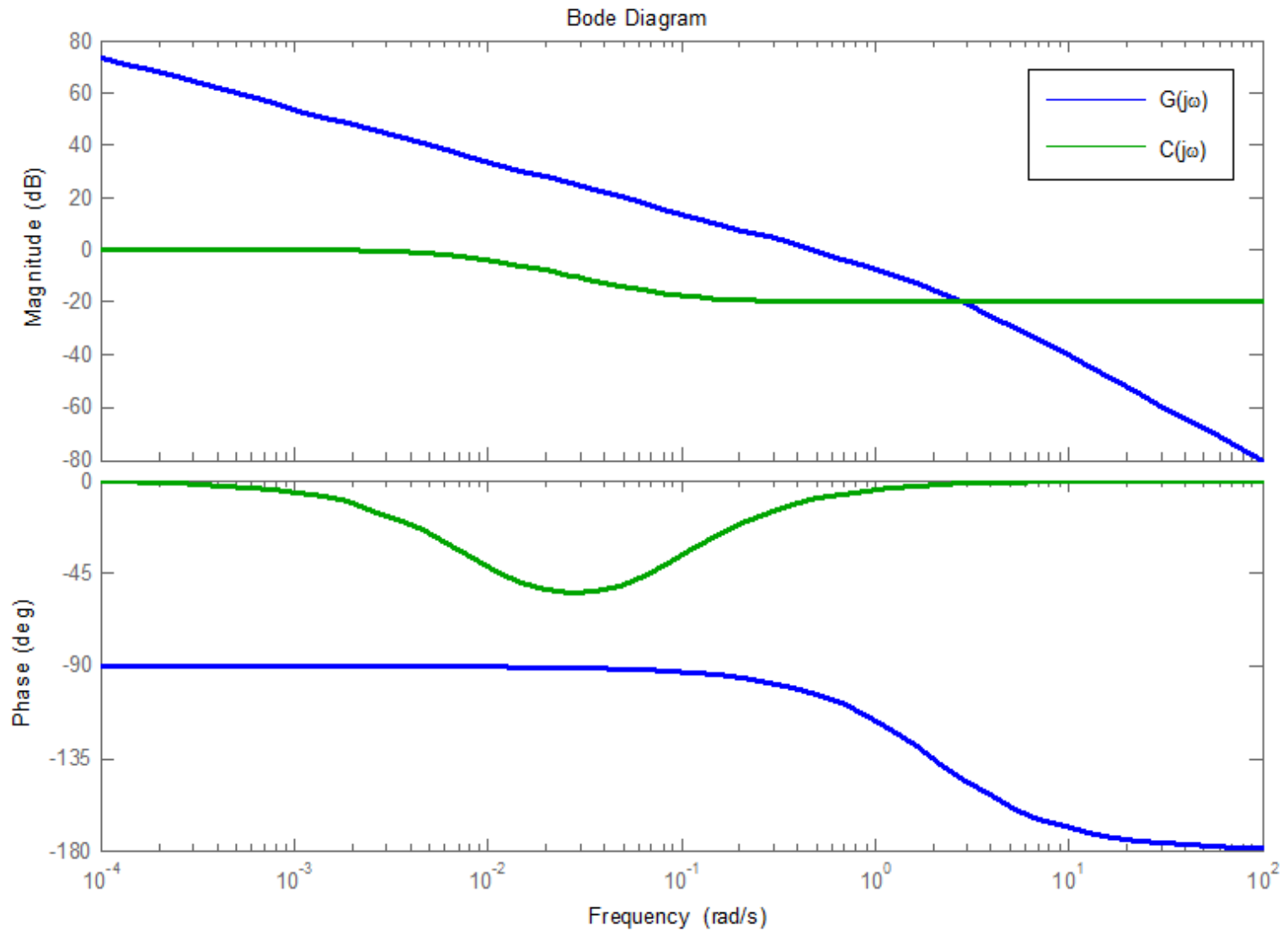
$$\begin{aligned}\angle C(j\omega_c) &= \operatorname{tg}^{-1}(\alpha T \omega_c) - \operatorname{tg}^{-1}(T \omega_c) \\ &= \operatorname{tg}^{-1}(10) - \operatorname{tg}^{-1}(10/\alpha)\end{aligned}$$

Para  $0 < \alpha < 1$ ,

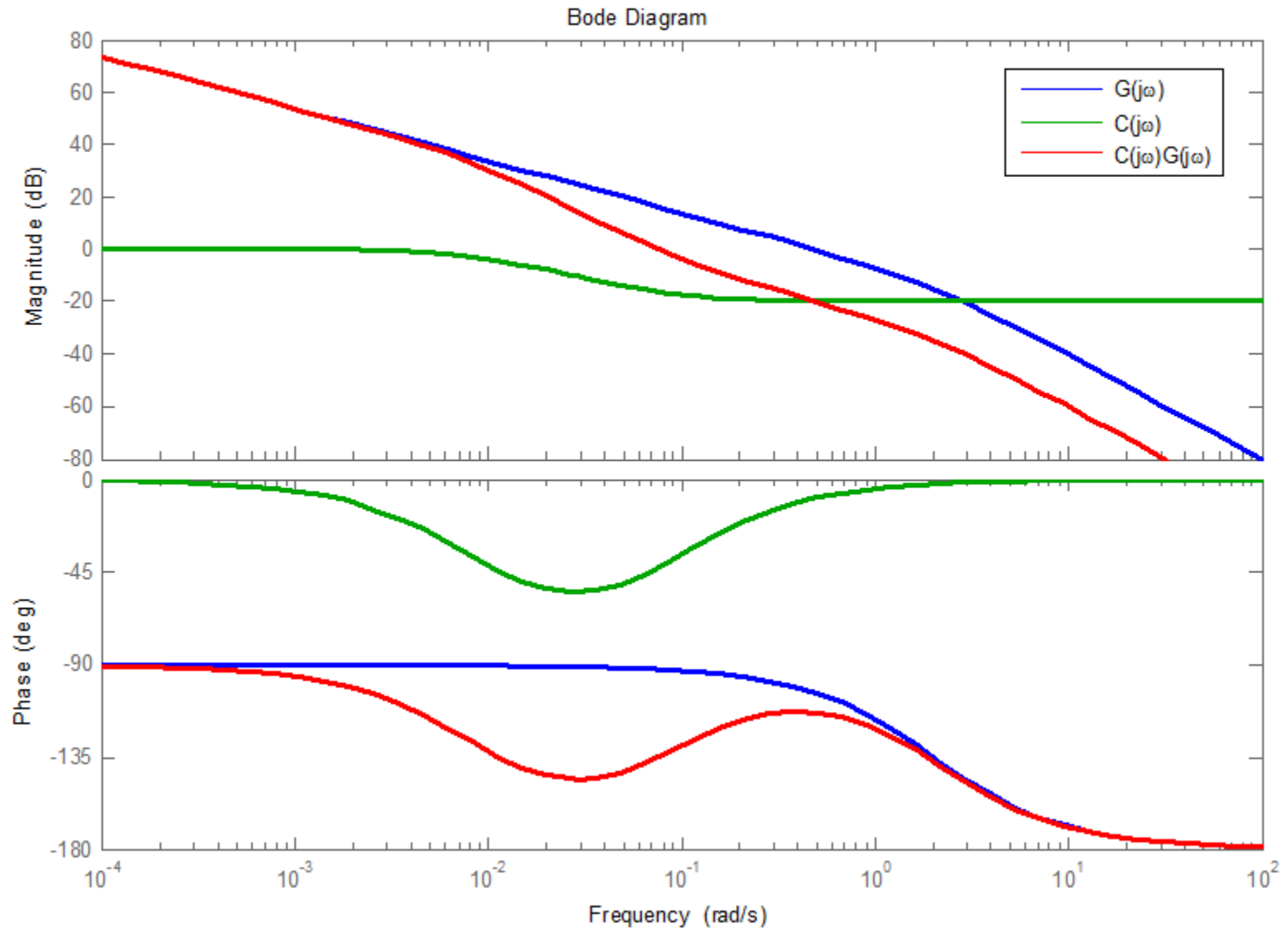
$$-5,7^\circ < \angle C(j\omega_c) < 0^\circ$$

ou seja, no limite a contribuição negativa de fase será aproximadamente  $-6^\circ$ .

# Controladores em Atraso



# Controladores em Atraso



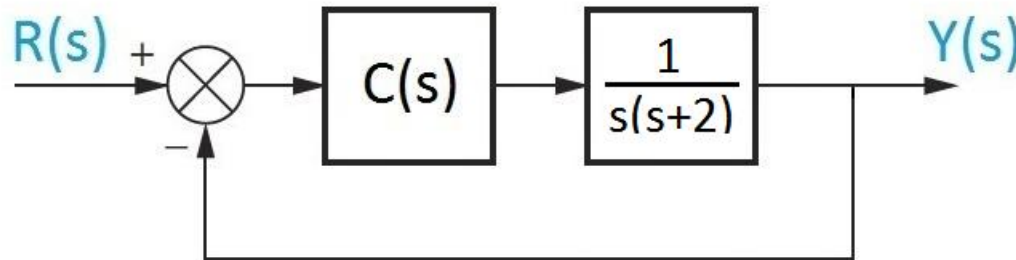
# Controladores em Atraso

De forma similar ao controlador em avanço, o controlador em atraso é projetado com o objetivo de **melhorar a margem de fase** do sistema melhorando assim de estabilidade e reduzindo o sobressinal da resposta no tempo.

**Ajusta-se inicialmente o ganho  $K$  do controlador para garantir a especificação de erro.** Consequentemente, este ajuste causará uma redução na margem de fase. **A margem de fase desejada será obtida através da alocação do zero do controlador em uma frequência uma década abaixo daquela definida para atender a especificação.**

## Exemplo 2 – Controlador em Atraso

Seja o sistema de controle a seguir.

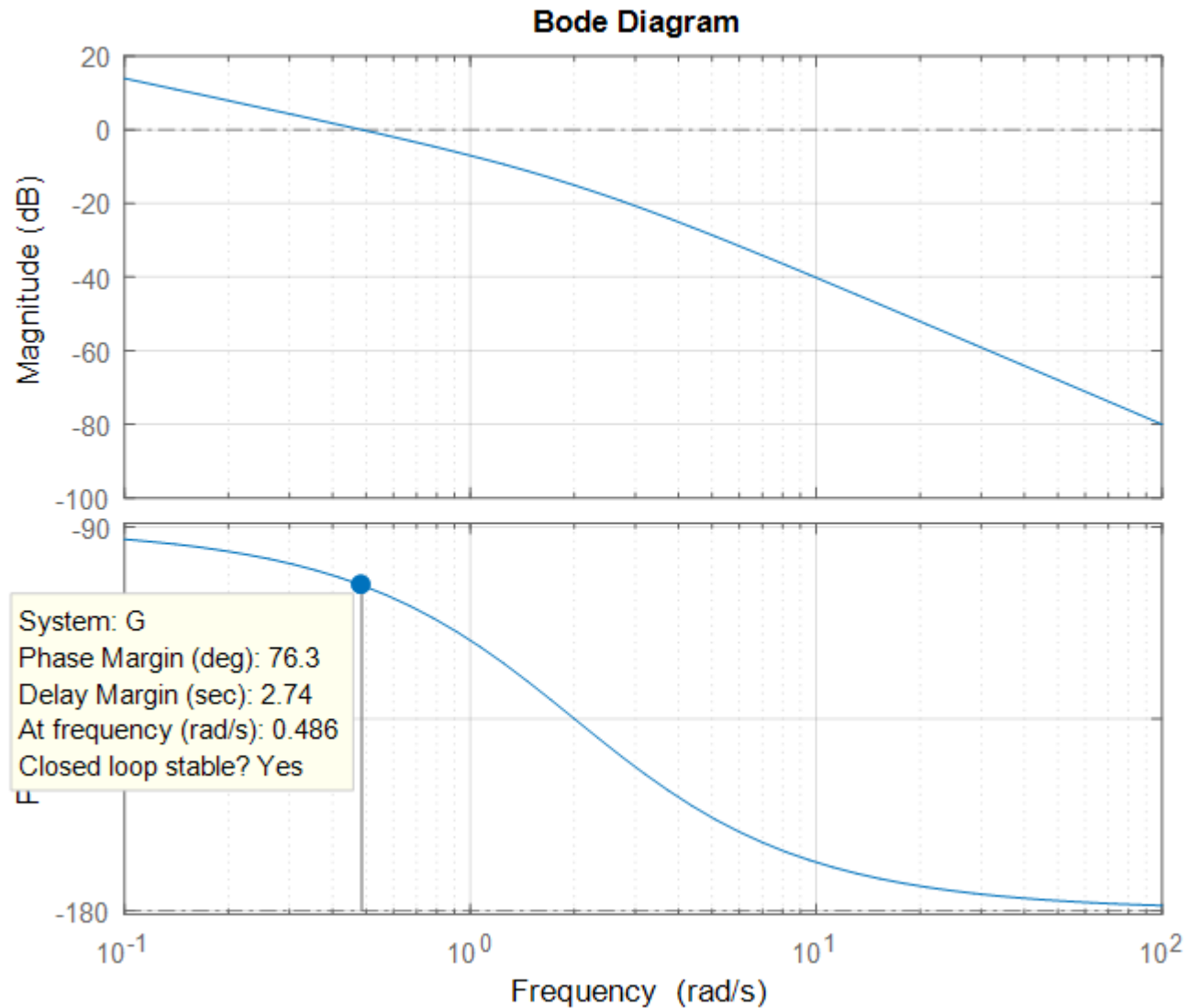


Projetar um controlador em atraso de fase de modo a atender as seguintes especificações:

- Erro à rampa menor ou igual a 10%
- Margem de fase maior ou igual a  $60^\circ$



## Exemplo 2 – Diagramas de Bode para $C(s)=1$



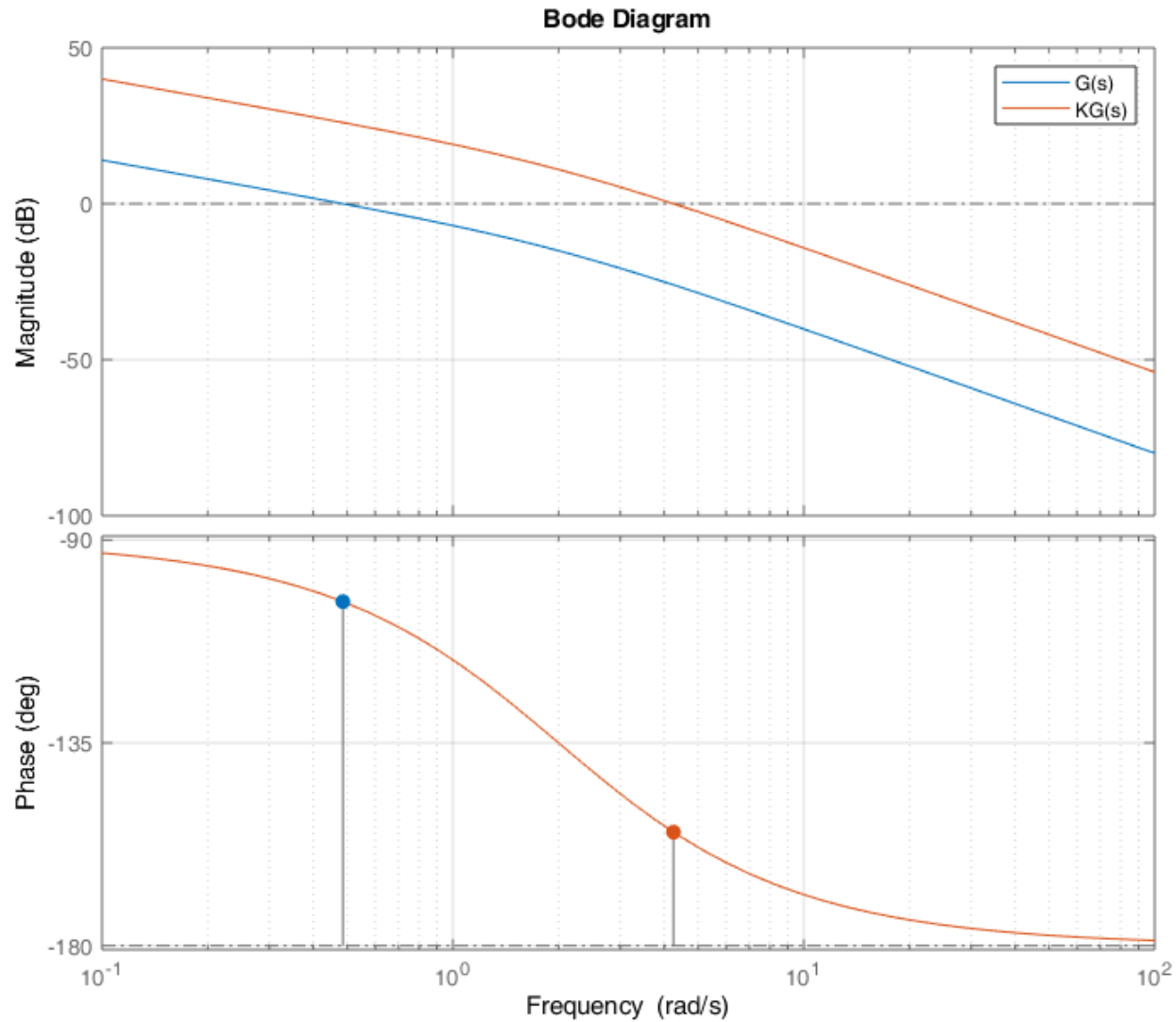
## Exemplo 2 – Controlador em Atraso

Como visto no exemplo anterior um ganho  $K \geq 20$  irá garantir a especificação de erro de regime permanente.

Considerando  $K=20$ , tem-se

$$\omega_{CG} = 4,25 \quad \text{e} \quad MF = 25,2^\circ$$

## Exemplo 2 – Diagramas de Bode para K=20



## Exemplo 2 – Controlador em Atraso

Inicialmente calcula-se a frequência de cruzamento de ganho necessária para garantir o atendimento da margem de fase desejada.

$$\underbrace{180^\circ + \angle KG(j\omega)}_{\text{MF do sistema (KG)}} = \underbrace{60^\circ}_{\text{MF desejada}} + \underbrace{6^\circ}_{\substack{\text{Fase negativa do} \\ \text{controlador}}}$$

$$\angle KG(j\omega_c) = -\text{tg}^{-1}\left(\frac{2}{-\omega_c}\right) = -114^\circ \Rightarrow \omega_c = 0,89$$

Portanto, a nova frequência de cruzamento de ganho será  $\omega_c=0,89$ .

## Exemplo 2 – Controlador em Atraso

É preciso garantir agora que  $\omega_c$  seja a frequência de cruzamento de ganho do sistema controlado. Para tanto,

$$|C(j\omega_c)G(j\omega_c)| = 1$$

Uma vez que utiliza-se a parte de alta frequência do controlador, a condição acima reduz-se a

$$|\alpha K G(j\omega_c)| = 1$$

Assim,

$$\alpha = \frac{1}{|K G(j\omega_c)|}$$

No exemplo,

$$\alpha = \frac{\omega_c \sqrt{\omega_c + 4}}{20} = 0,1$$

## Exemplo 2 – Controlador em Atraso

A frequência de cruzamento de ganho do sistema controlado,  $\omega_c$ , deve estar uma década acima do zero do controlador, ou seja,

$$\omega_c = \frac{10}{\alpha T} \rightarrow T = \frac{10}{\alpha \omega_c}$$

Assim,

$$T = \frac{10}{0,1 \times 0,89} = 112,4 \quad \text{e} \quad \alpha T = 11,24$$

O controlador fica

$$C(s) = 20 \frac{11,24s + 1}{112,4s + 1}$$

## Exemplo 2 – Controlador em Atraso

ou

$$C(s) = 2 \frac{s + 0,09}{s + 0,009}$$

Observe que, esta metodologia de projeto leva a um controlador em atraso que tem forma semelhante àquele projetado usando Lugar das Raízes, **com polo e zero próximos à origem.**

## Exemplo 2 – Controlador Proporcional $C(s)=1$

### 1. Sistema com $C(s)=1$

$$G(s) = \frac{1}{s(s+2)} \rightarrow \begin{aligned} MG &= \infty \\ MF &= 76,4^\circ \\ \omega_{CG} &= 0,486 \end{aligned}$$

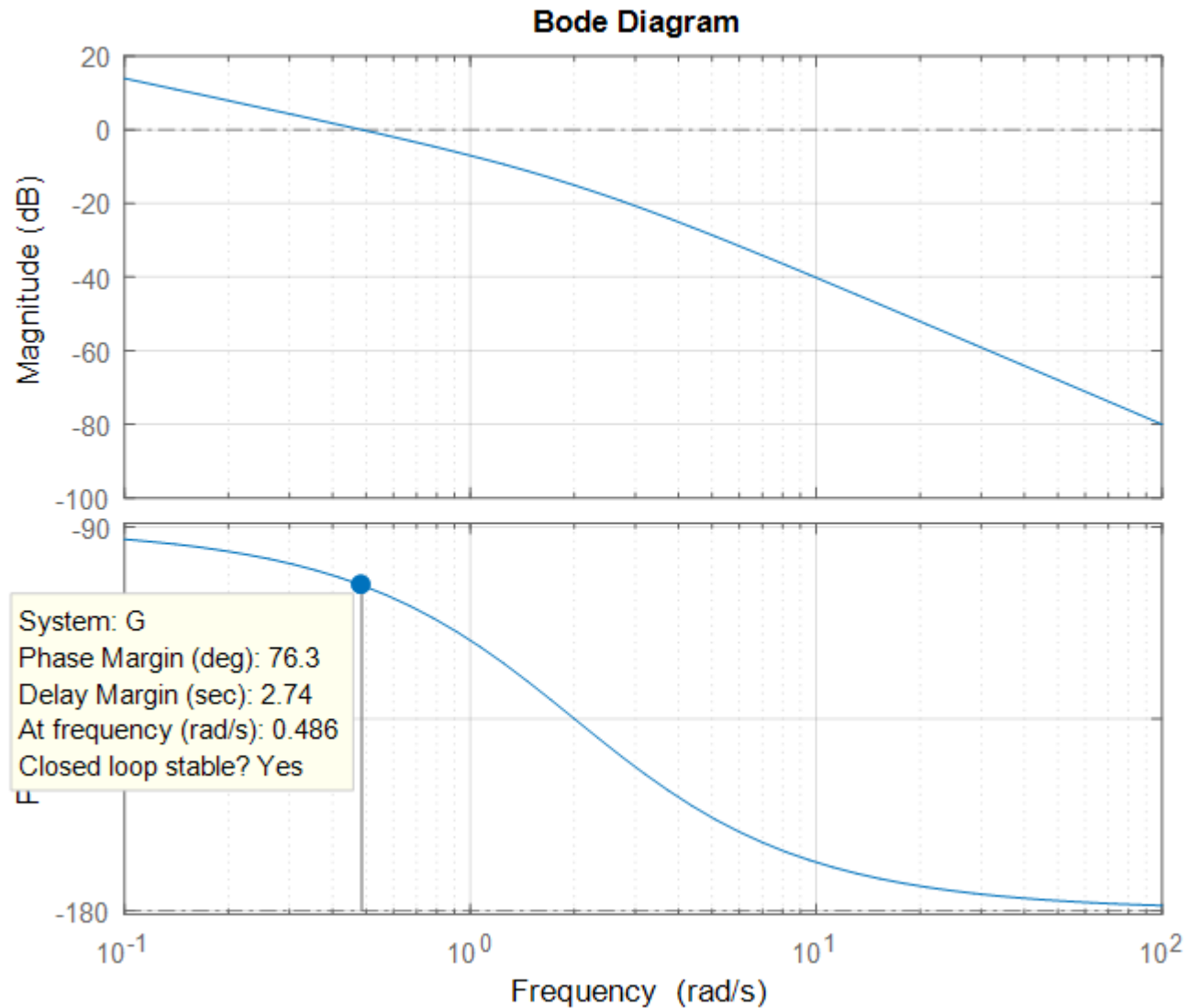
$$Kv = \lim_{s \rightarrow 0} sG(s) = \frac{1}{2} \rightarrow e_\infty = 200\%$$

No domínio do tempo:

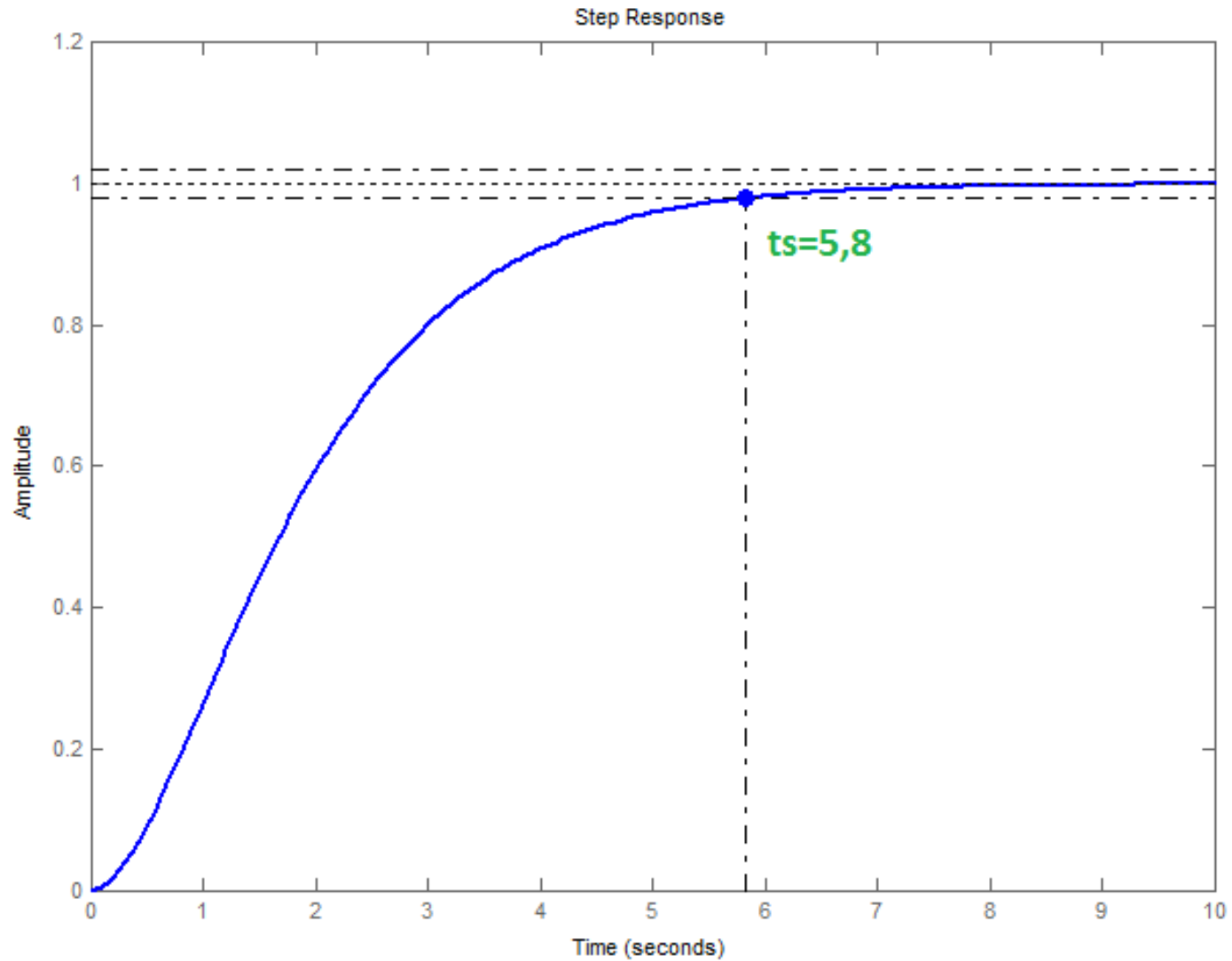
$$T(s) = \frac{1}{s^2 + 2s + 1} \rightarrow \begin{aligned} M_P &= 0\% \\ t_s &= 5,8 \end{aligned}$$



## Exemplo 2 – Diagramas de Bode para $C(s)=1$



## Exemplo 2 – Resposta ao degrau para $C(s)=1$



## Exemplo 2 – Controlador Proporcional K=20

### 2. Sistema com ganho K=20

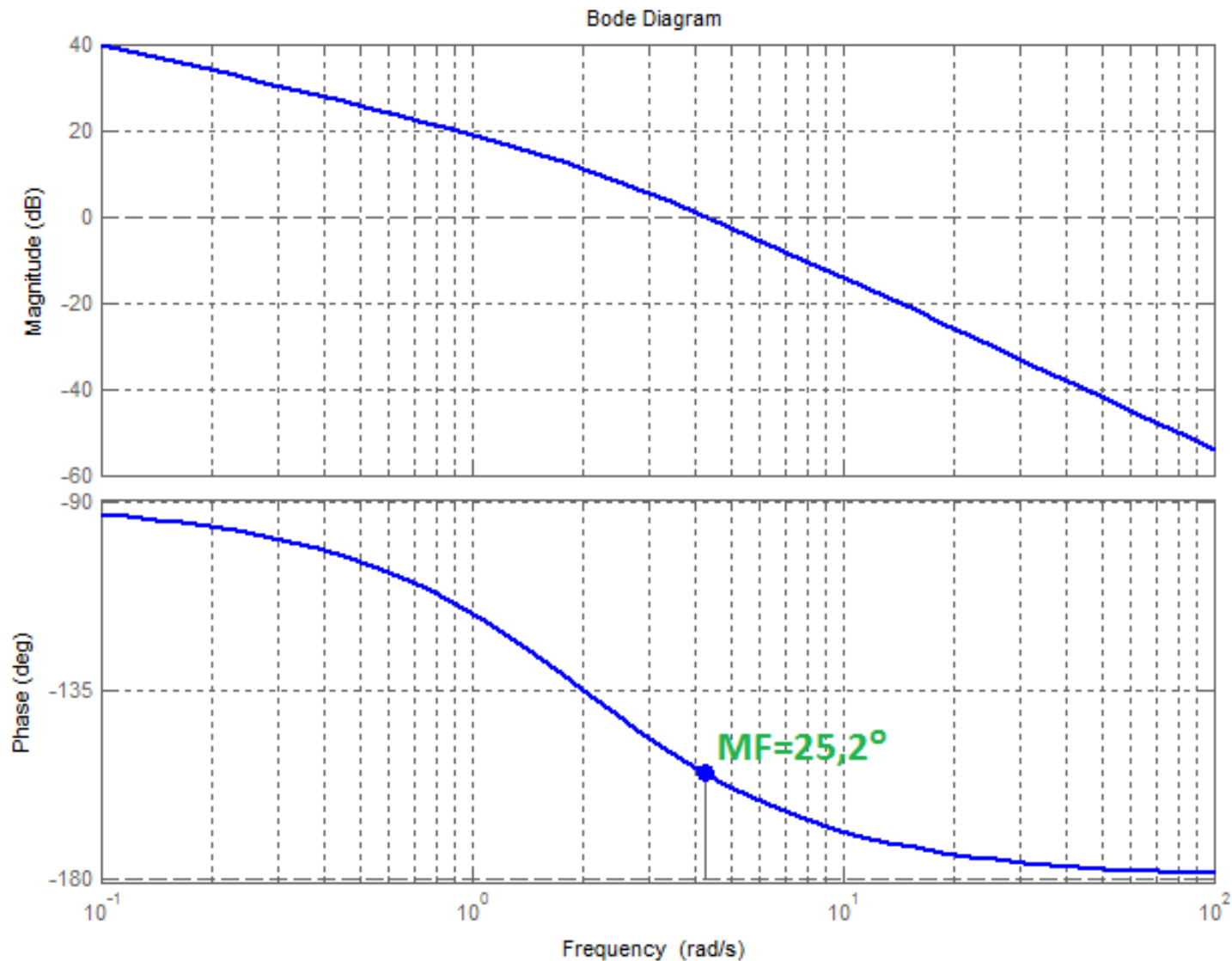
$$G(s) = \frac{20}{s(s+2)} \rightarrow \begin{aligned} MG &= \infty \\ MF &= 25,4^\circ \\ \omega_{CG} &= 4,25 \end{aligned}$$

$$K_v = \lim_{s \rightarrow 0} sG(s) = 10 \rightarrow e_\infty = 10\%$$

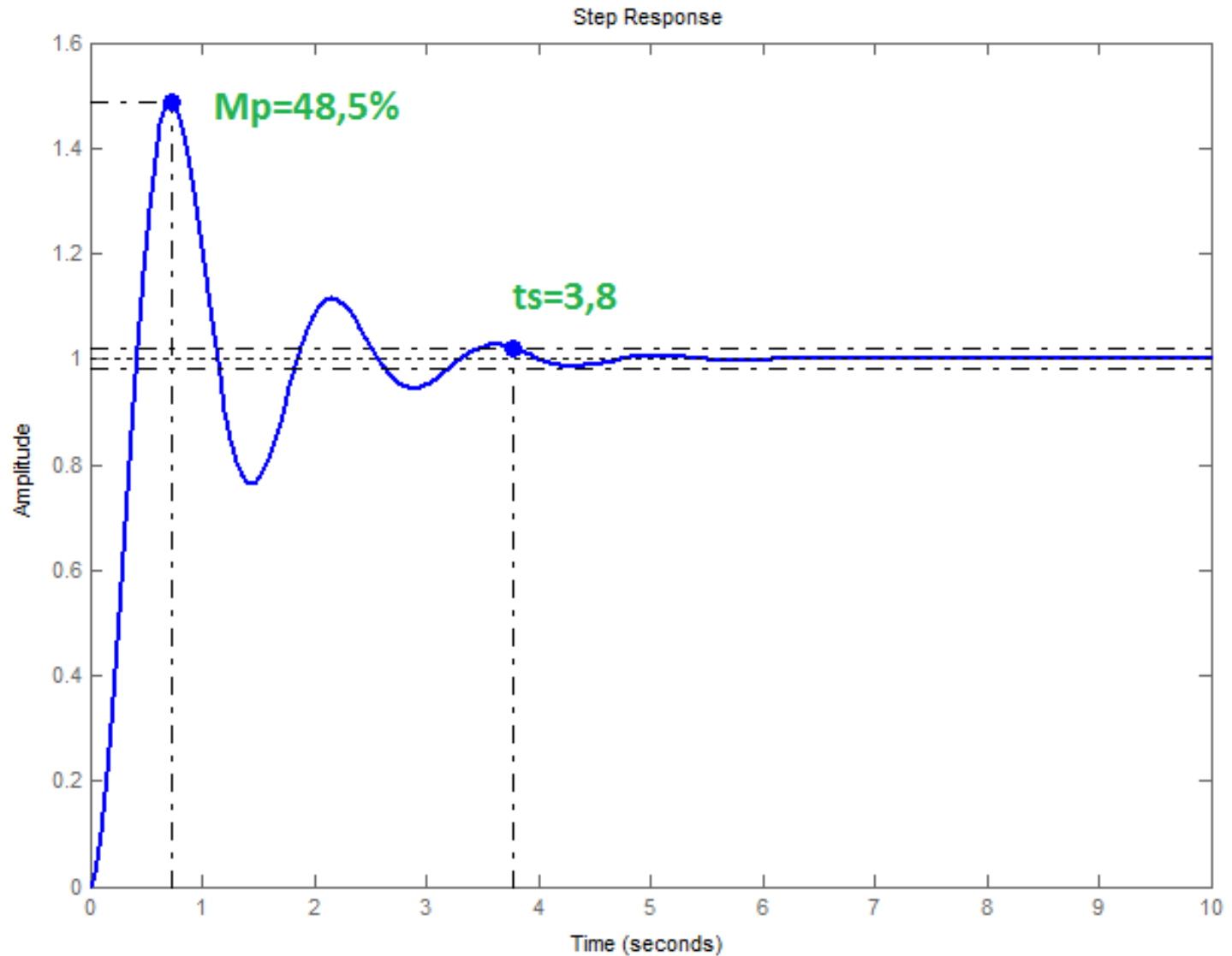
No domínio do tempo:

$$T(s) = \frac{20}{s^2 + 2s + 20} \rightarrow \begin{aligned} M_p &= 48,5\% \\ t_s &= 3,8 \end{aligned}$$

## Exemplo 2 – Diagramas de Bode para K=20



## Exemplo 2 – Resposta ao degrau para $K=20$



## Exemplo 2 – Controlador em Atraso

### 3. Sistema com controlador em atraso

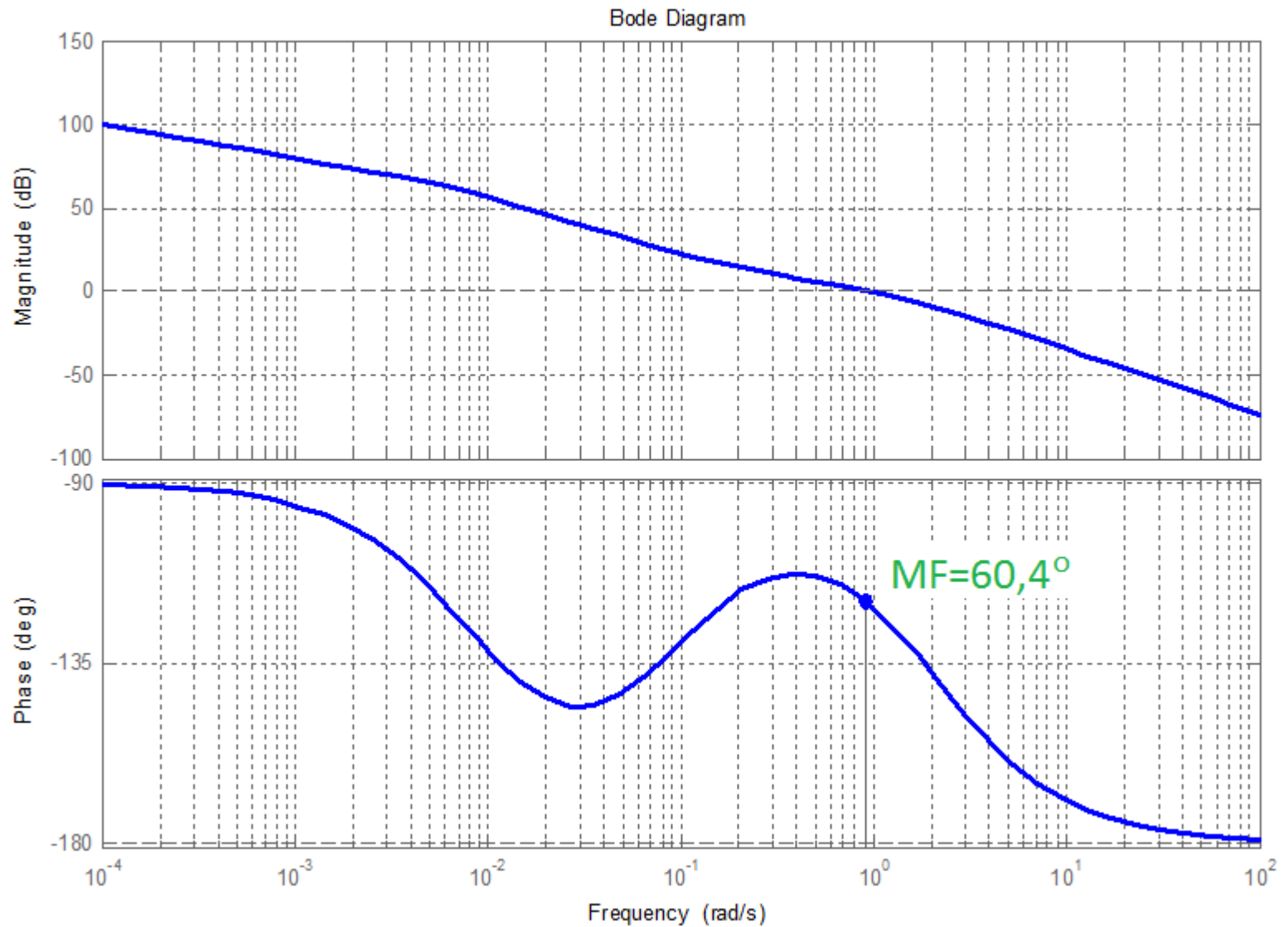
$$C(s)G(s) = \frac{2(s + 0,09)}{s(s + 0,009)(s + 2)} \rightarrow \begin{aligned} MG &= \infty \\ MF &= 60,4^\circ \\ \omega_{CG} &= 0,9 \end{aligned}$$

$$K_V = \lim_{s \rightarrow 0} sG(s) = 10 \rightarrow e_\infty = 10\%$$

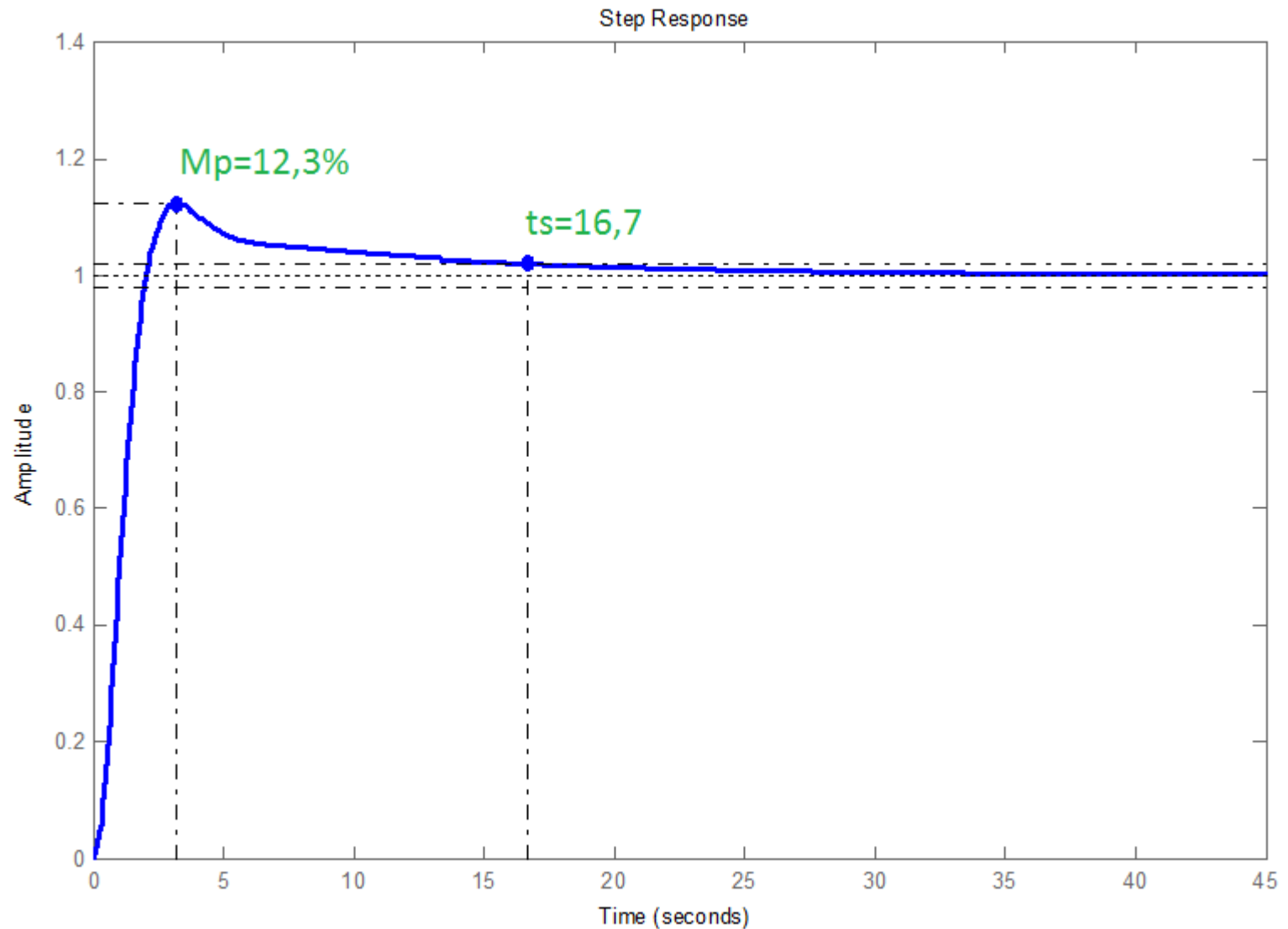
No domínio do tempo:

$$T(s) = \frac{2(s + 0,09)}{s^3 + 2,009s^2 + 2,018s + 0,18} \rightarrow \begin{aligned} M_P &= 12,3\% \\ t_s &= 16,7 \text{ seg} \end{aligned}$$

## Exemplo 2 – Diagramas de Bode para $C_{AT}(s)$

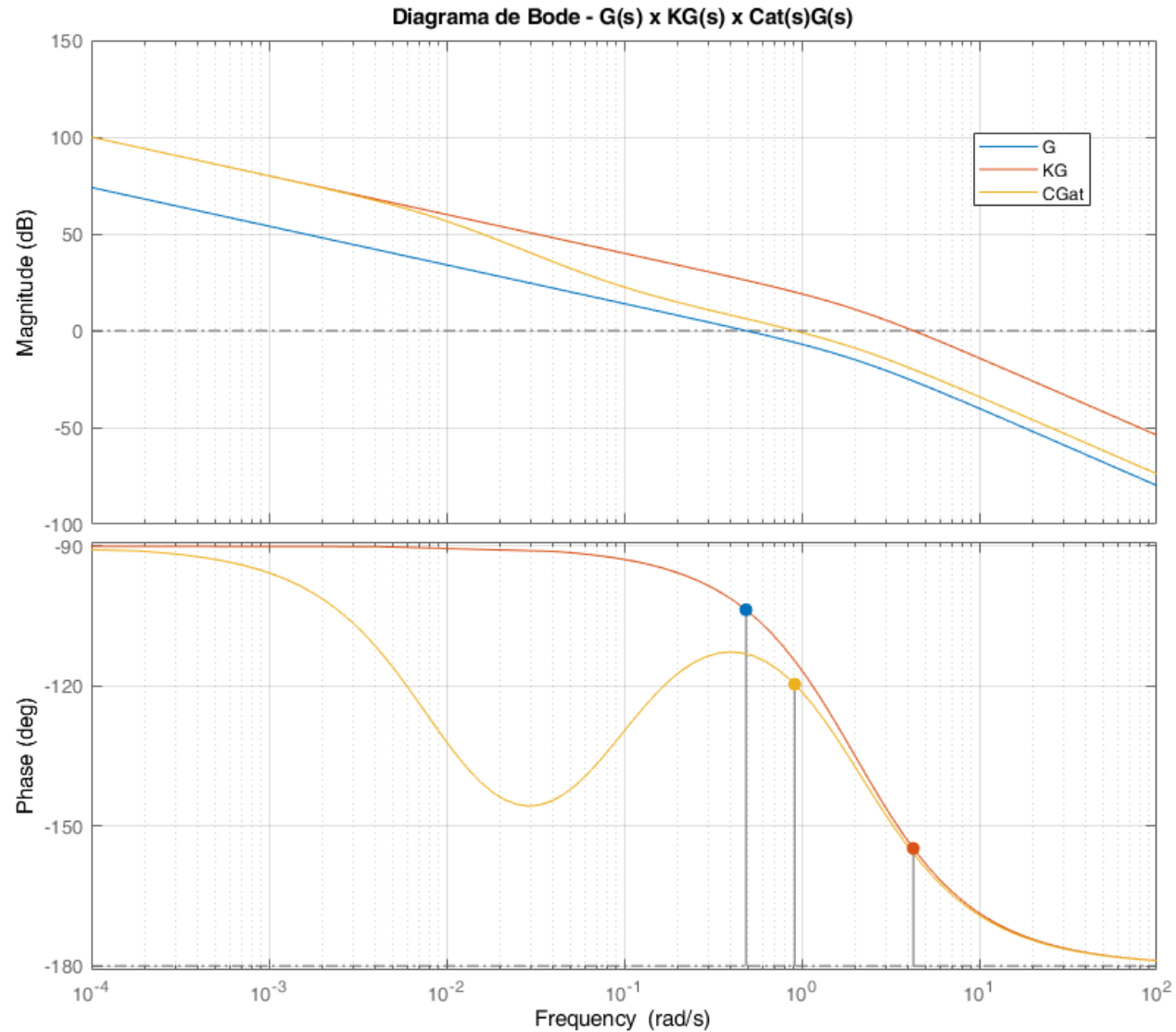


## Exemplo 2 – Resposta ao degrau para $C_{AT}(s)$

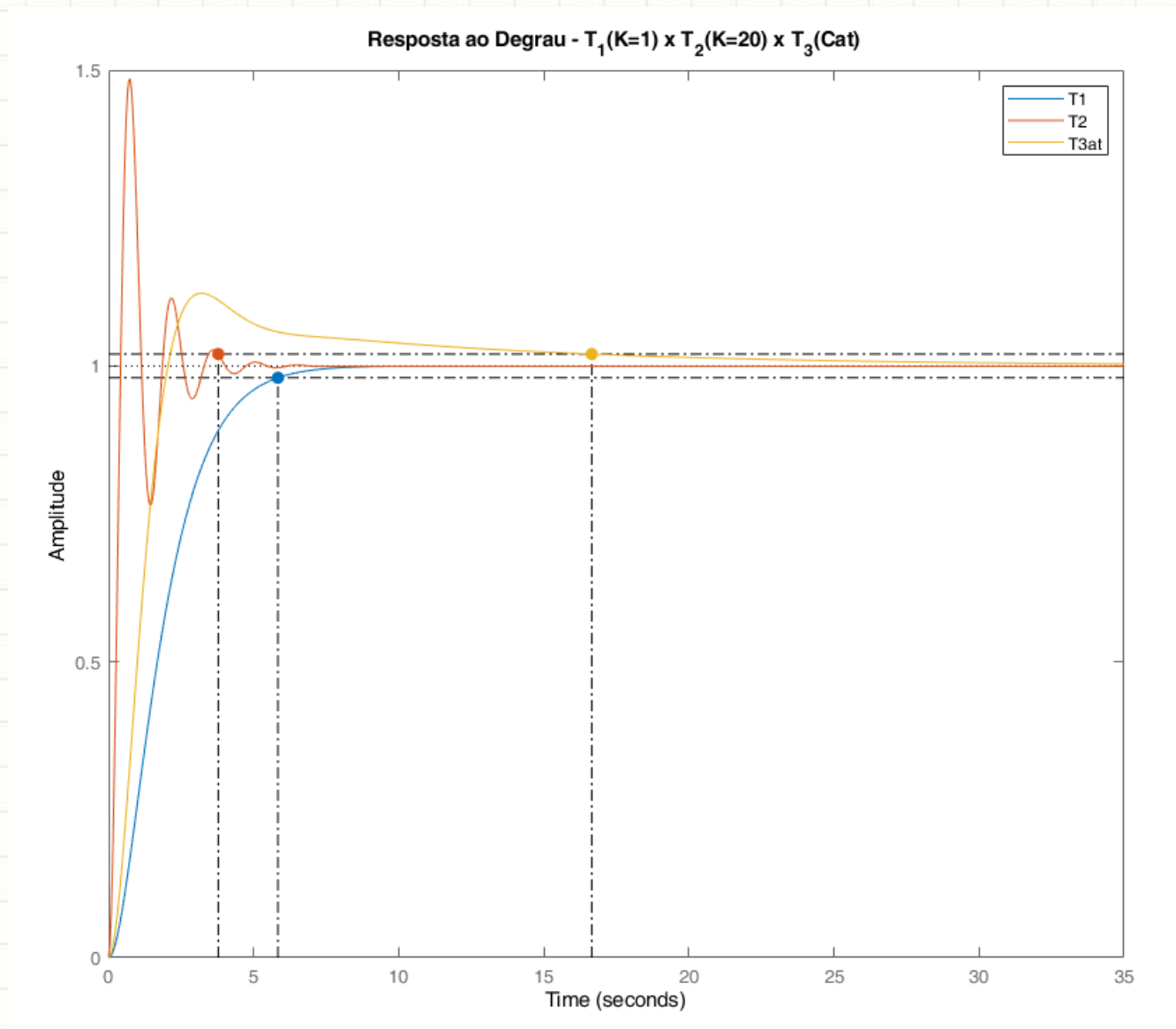




## Exemplo 2 - Diagramas de Bode



## Exemplo 2 - Resposta ao Degrau



# Controladores em Atraso

## Efeitos da introdução de um controlador em atraso

- Melhoria na margem de fase → redução de sobressinal
- Redução da largura de faixa → menor velocidade da resposta

## Limitações

**A introdução de um controlador em atraso pode gerar estabilidade condicional ou mesmo a instabilidade do sistema,** sobretudo quando existe saturação ou atraso de transporte (grande variação de fase).

# Comparativo: Avanço x Atraso

## Controlador em Avanço

$$C(s)G(s) = \frac{116,4(s + 2,82)}{s(s + 2)(s + 16,4)} \rightarrow \begin{aligned} MG &= \infty \\ MF &= 61,4^\circ \\ \omega_{CG} &= 6,8 \end{aligned}$$

$$T(s) = \frac{116,4(s + 2,82)}{s^3 + 18,4s^2 + 149,2s + 328,2} \rightarrow \begin{aligned} M_p &= 9,8\% \\ t_s &= 0,82 \text{ seg} \end{aligned}$$

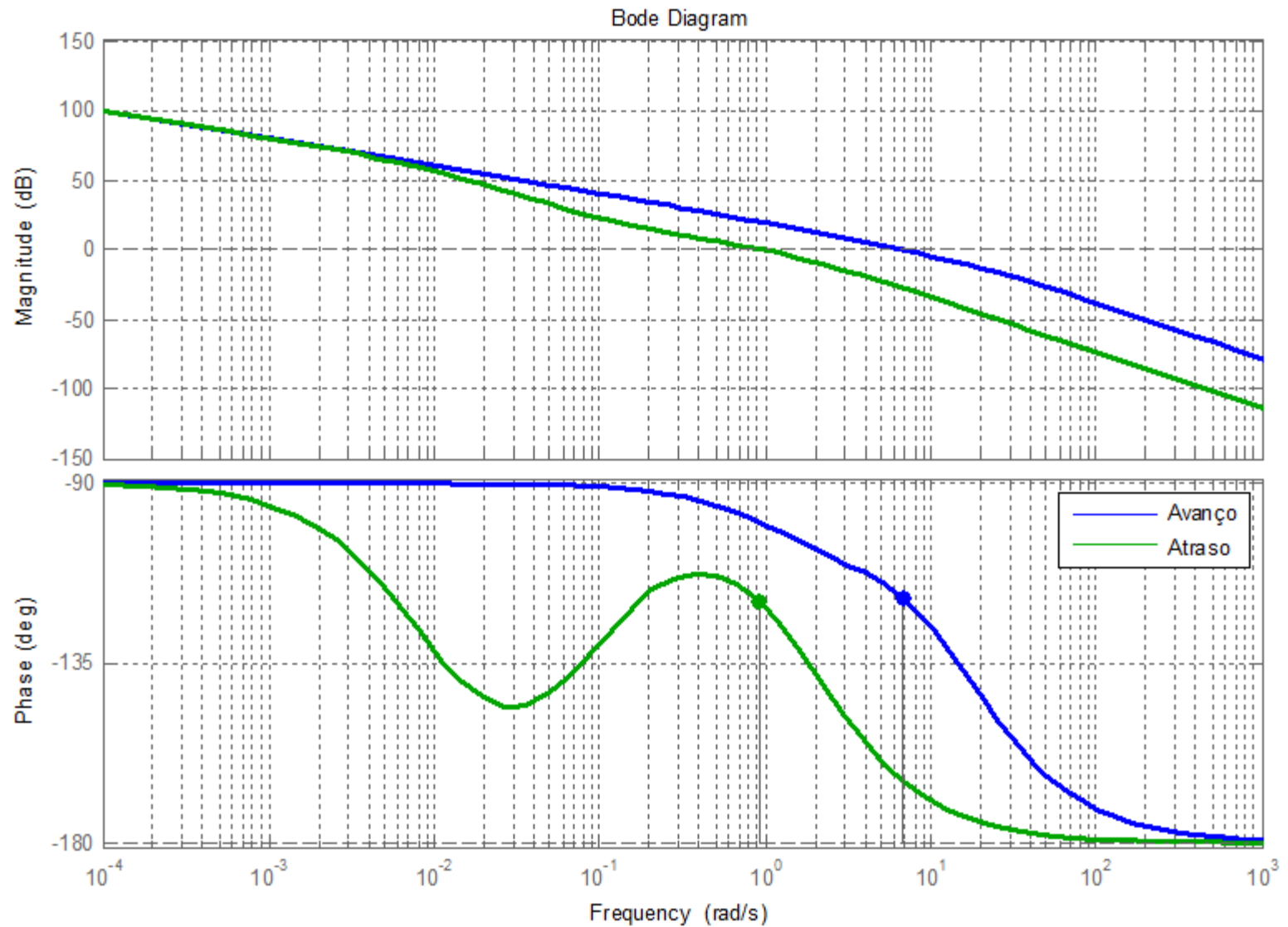
# Comparativo: Avanço x Atraso

## Controlador em Atraso

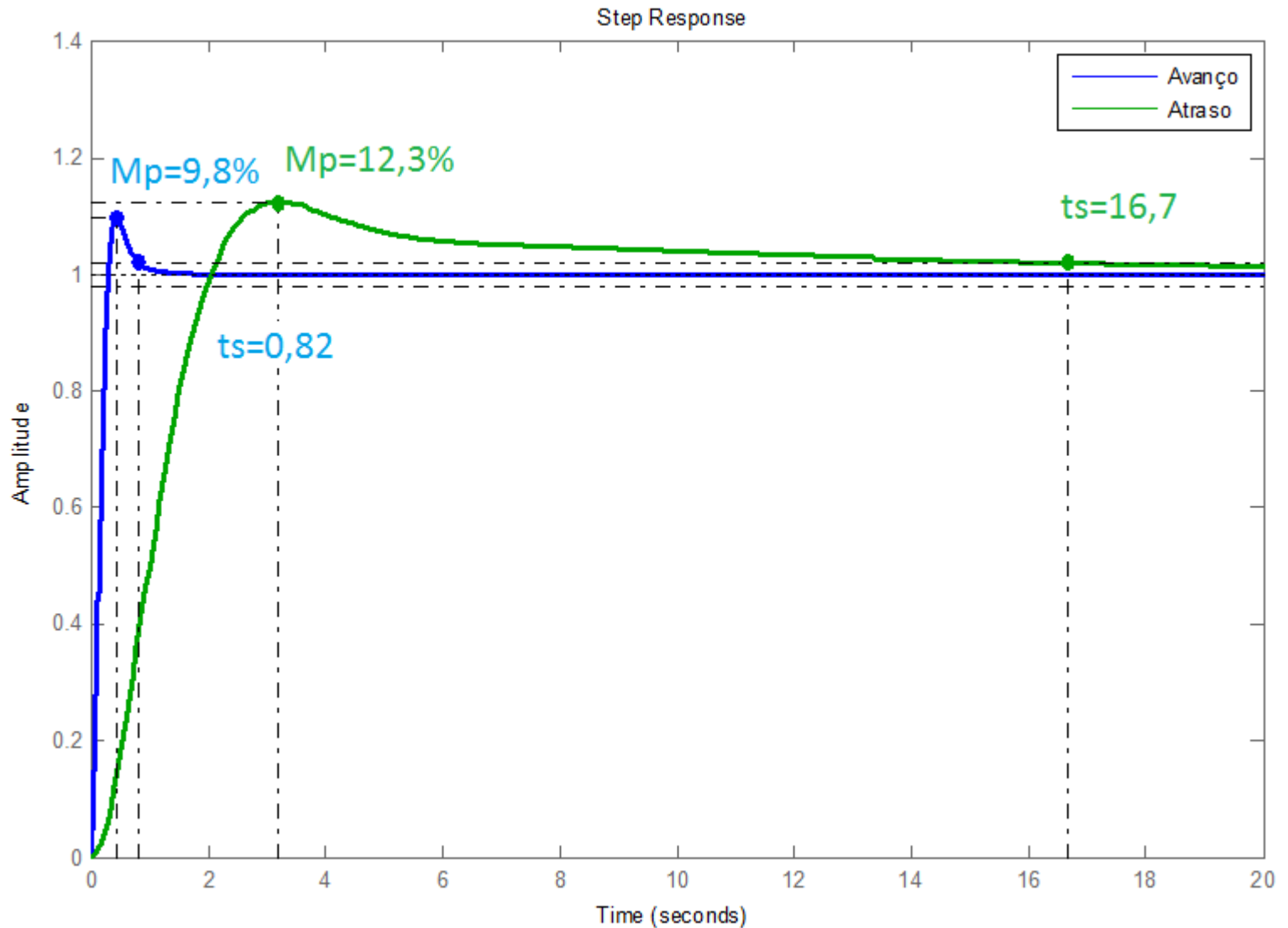
$$C(s)G(s) = \frac{2(s + 0,09)}{s(s + 0,009)(s + 2)} \rightarrow \begin{aligned} MG &= \infty \\ MF &= 60,4^\circ \\ \omega_{CG} &= 0,9 \end{aligned}$$

$$T(s) = \frac{2(s + 0,09)}{s^3 + 2,009s^2 + 2,018s + 328,2} 0,18 \rightarrow \begin{aligned} M_p &= 12,3\% \\ t_s &= 16,7 \text{ seg} \end{aligned}$$

# Diagramas de Bode $C_{AV}(s)$ x $C_{AT}(s)$



# Resposta ao Degrau $C_{AV}(s)$ x $C_{AT}(s)$



## Exemplo 3 - Controlador PI

Se fosse solicitado **erro nulo em regime permanente**, o **controlador em atraso poderia ser transformado em um PI ?** (de forma similar ao que foi feito no projeto pelo lugar das raízes)

O controlador em atraso reduzido “diretamente” a um PI tem a forma:

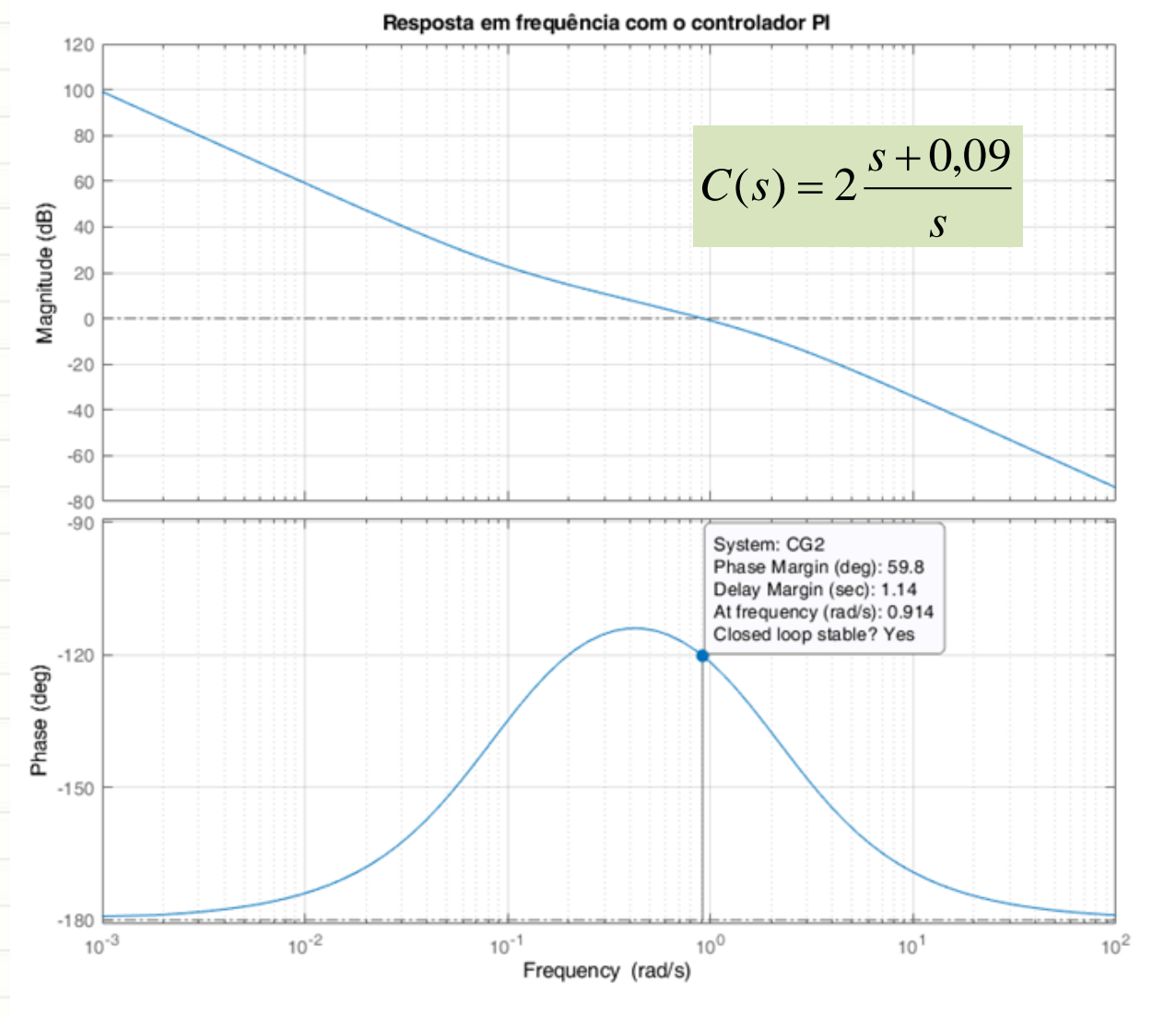
$$C(s) = 2 \frac{s + 0,09}{s}$$

Da resposta em frequência para o sistema com este controlador obtém-se uma margem de fase de  $59,8^\circ$ , ligeiramente menor do que o valor especificado.

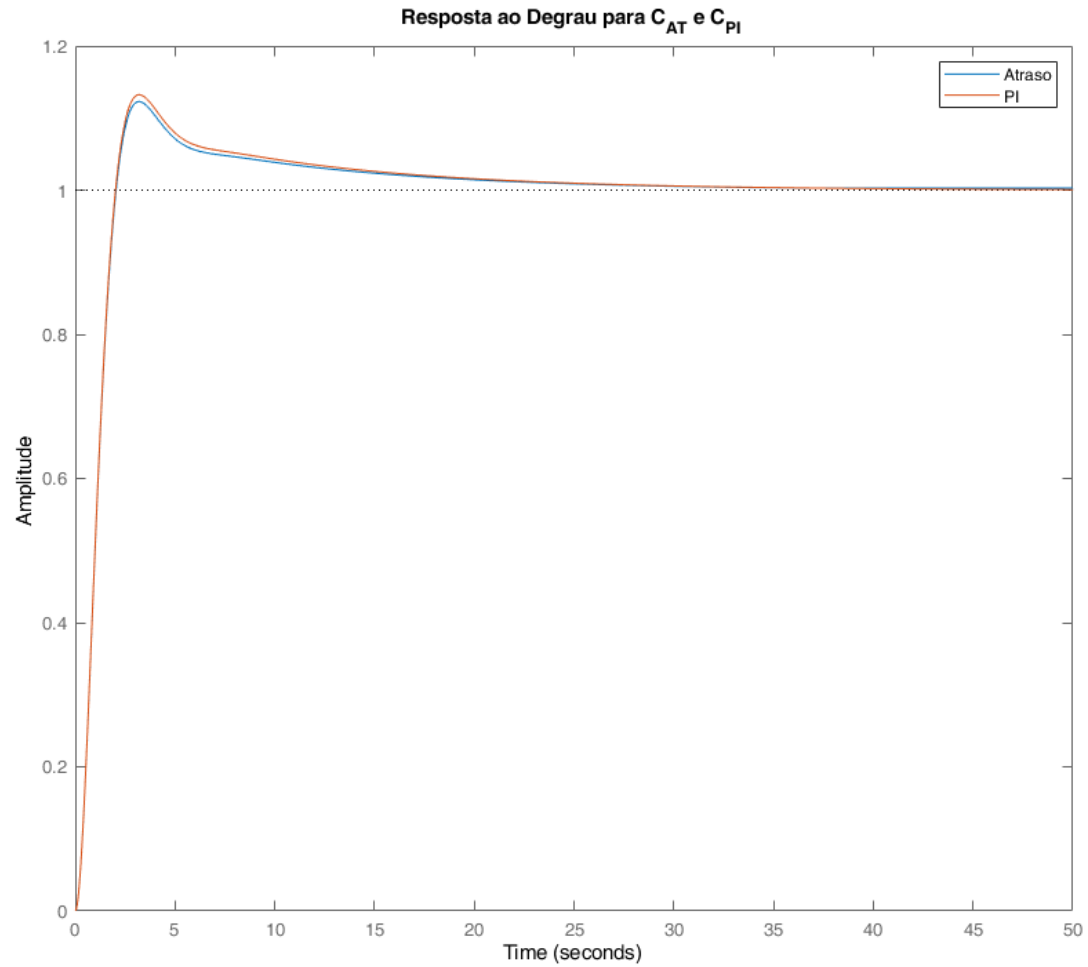
**A resposta no tempo** não apresenta diferenças significativas.



## Exemplo 3 – Diagramas de Bode para $C_{PI}(s)$



## Exemplo 3 – Resposta ao degrau para $C_{PI}(s)$



## Exemplo 3 - Controlador PI

Uma vez que o controlador PI garanta o erro nulo, **o ganho K pode ser modificado para justar a margem de fase.**

Dos Diagramas de Bode observa-se que uma pequena redução no ganho deslocará a frequência de cruzamento de ganho para a esquerda, aumentando a margem de fase.

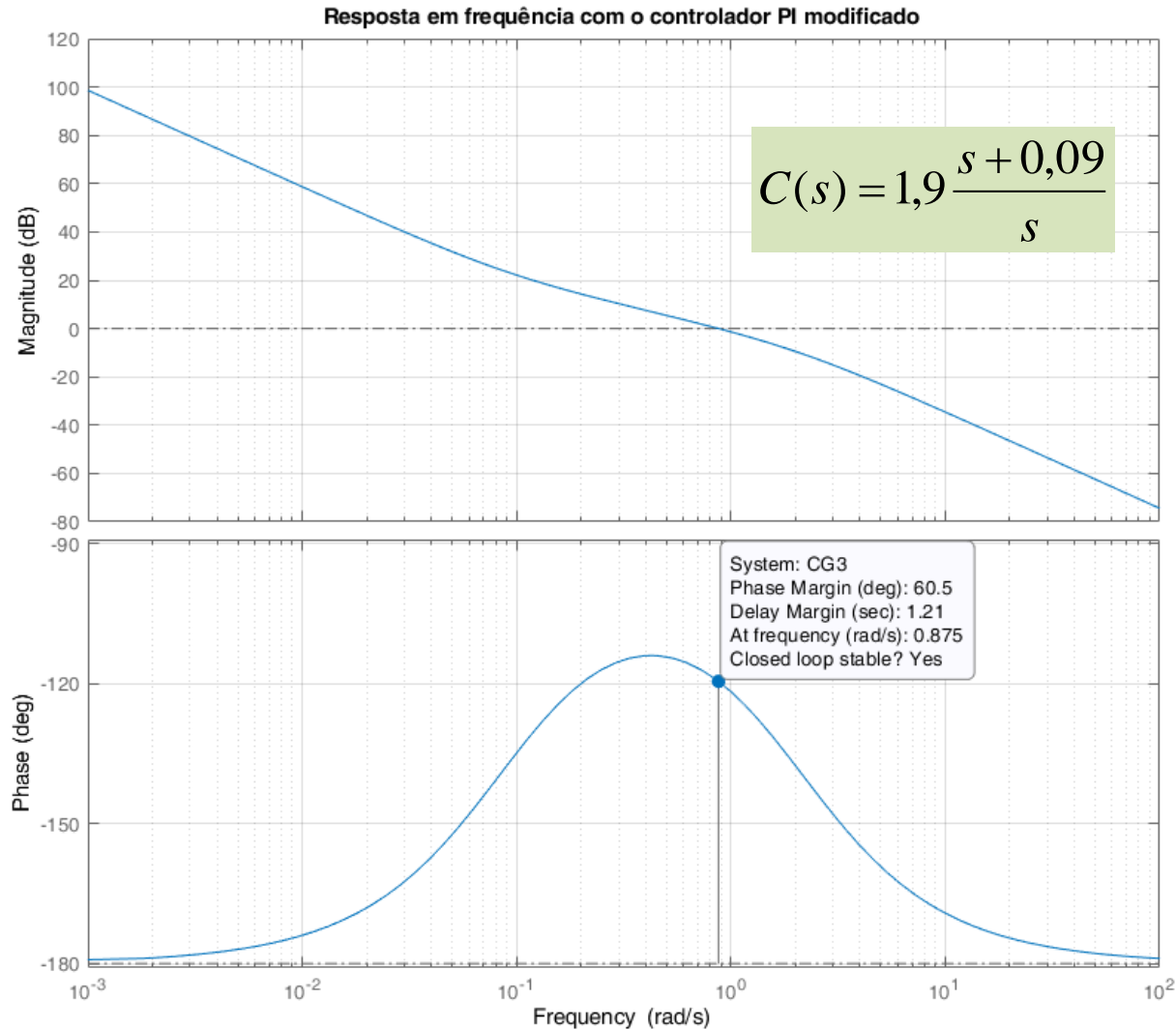
Escolhendo  $K=1,9$ , ou seja:

$$C(s) = 1,9 \frac{s + 0,09}{s}$$

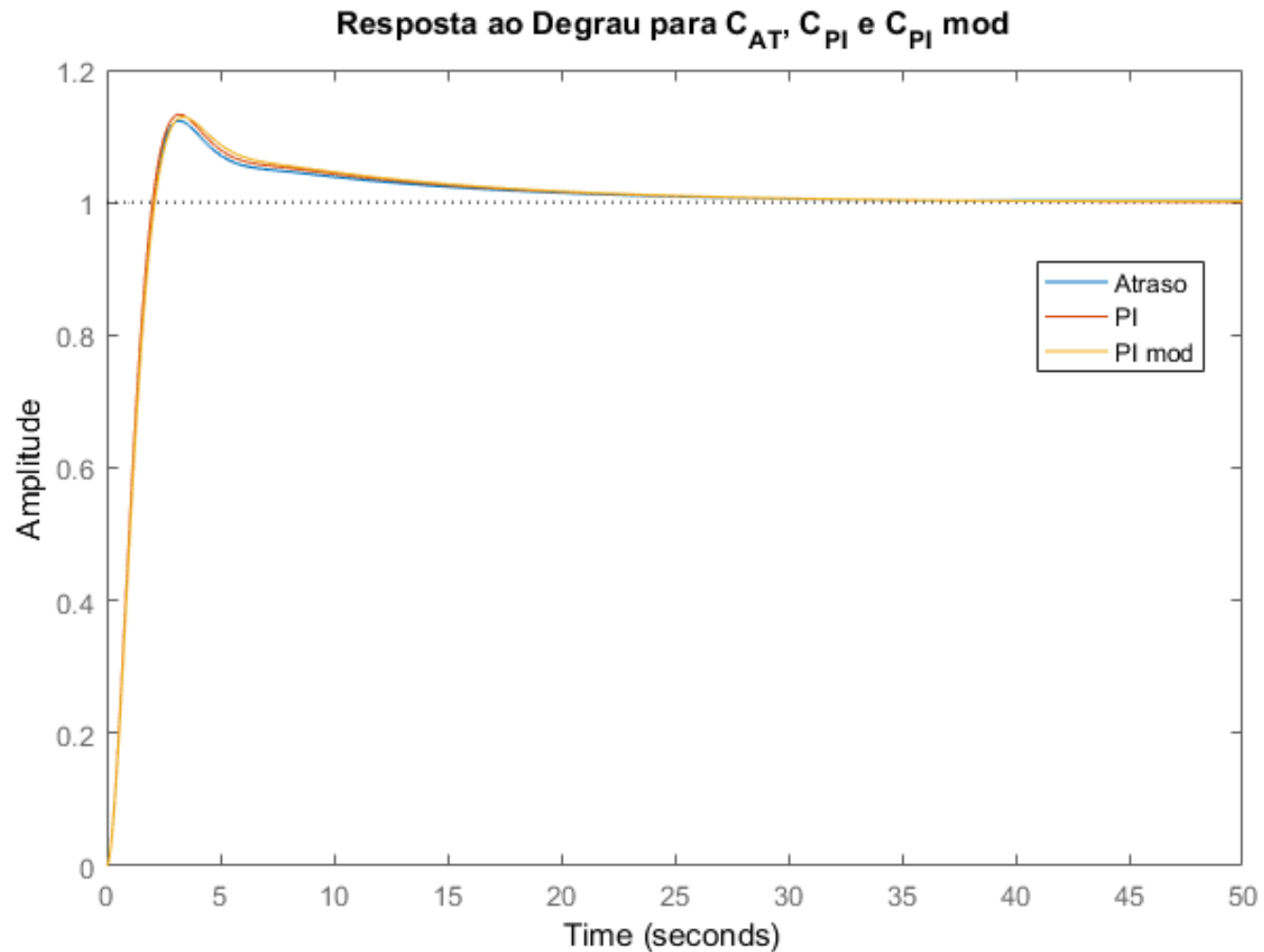
obtém-se uma margem de fase de  $60,5^\circ$ , atendendo a especificação.

**A resposta no tempo continua é similar às anteriores.**

## Exemplo 3 – Diagramas de Bode para $C_{PI}(s)$ ajustado



## Exemplo 3 – Resposta ao degrau para $C_{PI}(s)$ ajustado



# Controladores em Avanço-Atraso

A estrutura do controlador será definida por:

$$C(s) = K \left( \frac{s + 1/T_1}{s + \alpha/T_1} \right) \left( \frac{s + 1/T_2}{s + \beta/T_2} \right) \quad \begin{matrix} \alpha > 1 \\ 0 < \beta < 1 \end{matrix}$$

Existem duas possibilidades para o controlador:

$$\alpha \neq \beta$$

$$\alpha = 1/\beta$$

Os controladores em avanço-atraso usualmente são utilizados quando existe mais de uma especificação relativa à resposta transitória.

## Controladores em Avanço-Atraso ( $\beta=1/\alpha$ )

A estrutura do controlador será definida por:

$$C(s) = K \left( \frac{s + 1/T_1}{s + \alpha/T_1} \right) \left( \frac{s + 1/T_2}{s + 1/\alpha T_2} \right) \quad \alpha > 1$$

Observe que, nesta estrutura a relação polo/zero é a mesma no avanço e no atraso.

A parcela relativa ao avanço será usada para melhorar a margem de fase e largura de faixa (resposta transitória) enquanto o ganho e a parcela do atraso são ajustados para atender a especificação de regime permanente.



# Controladores em Avanço-Atraso ( $\beta=1/\alpha$ )

## Procedimento de Projeto

1. A partir das especificações de desempenho da resposta transitória **determinar MF e largura de faixa** necessárias:

$$\omega_B = \omega_n \sqrt{(1 - 2\xi^2) + \sqrt{4\xi^4 - 4\xi_2 + 2}}$$

2. **Ajustar o ganho K** para atender a especificação de regime permanente.
3. Verificar MF e frequência de cruzamento de ganho para  $KG(j\omega)$ .



## Controladores em Avanço-Atraso ( $\beta=1/\alpha$ )

4. Determinar a nova frequência de cruzamento de ganho,  $\omega_C$ , próximo da largura de faixa desejada.
5. Determinar a contribuição angular do controlador em avanço,  $\phi_m$ , de modo a atender a MF desejada.
6. Determinar  $\alpha$  a partir dos requisitos do avanço.

$$\alpha = \frac{1 + \sen \phi_m}{1 - \sen \phi_m}$$

## Controladores em Avanço-Atraso ( $\beta=1/\alpha$ )

7. **Projetar o controlador em atraso**, escolhendo o zero uma década abaixo da nova frequência de cruzamento de ganho.

$$\frac{1}{T_2} = \frac{\omega_c}{10}$$

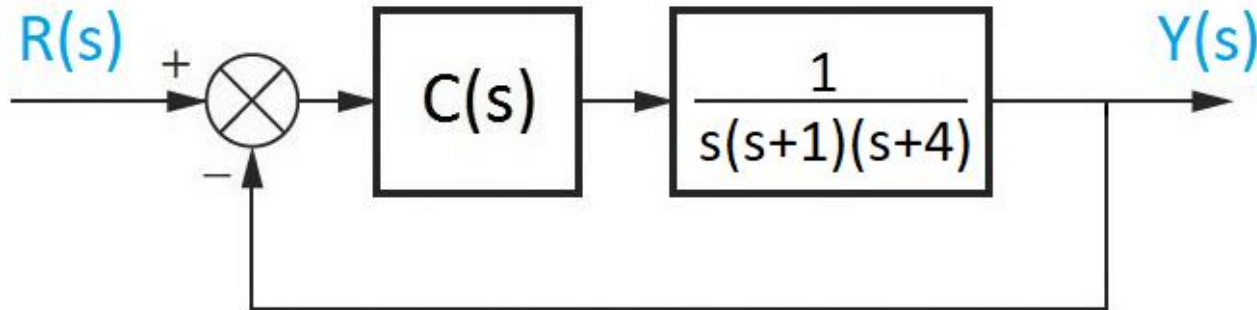
8. Determinar polo e zero do controlador em avanço:

$$T_1 = \frac{1}{\omega_c \sqrt{1/\alpha}}$$

9. Fazer a verificação do Projeto.

## Exemplo 4

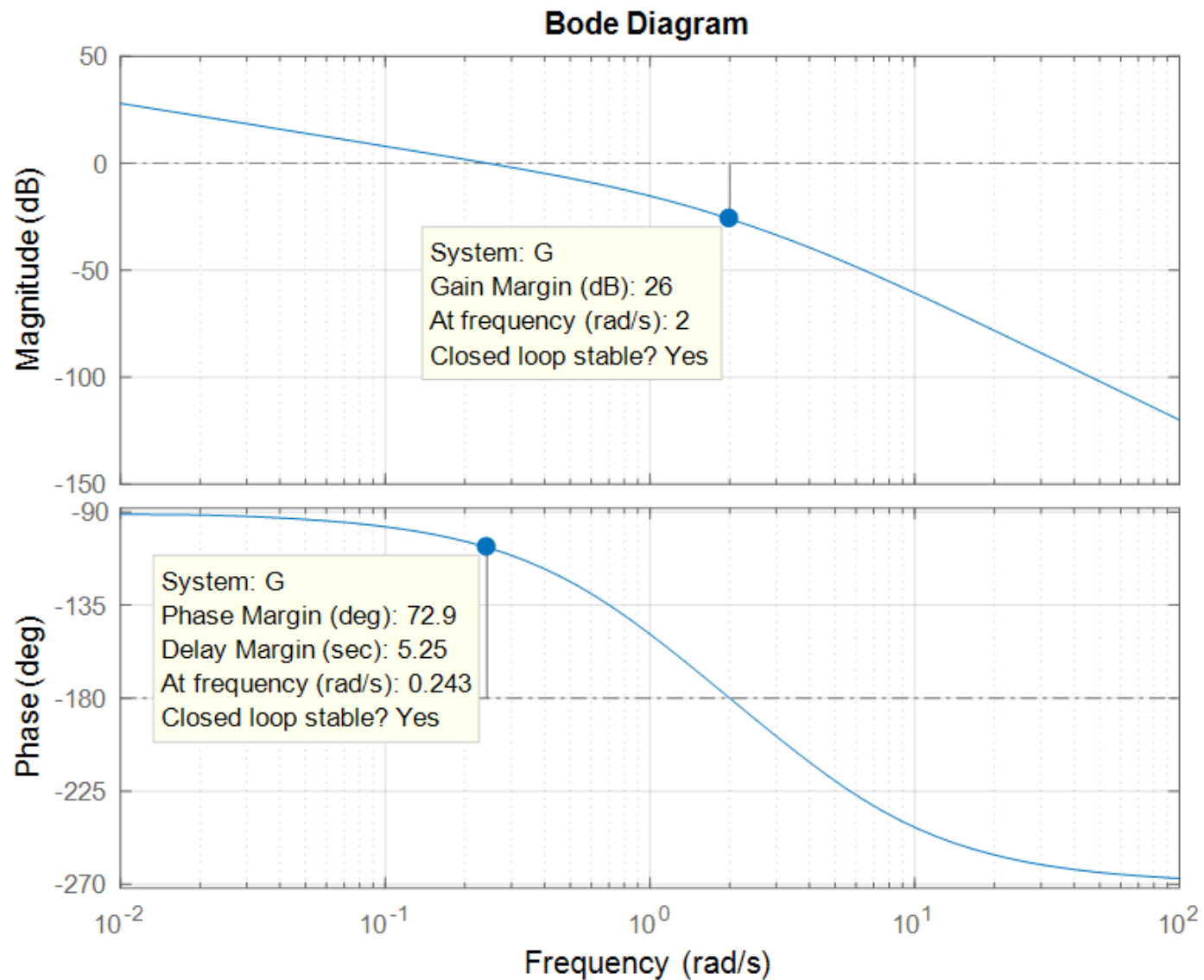
Seja o sistema de controle a seguir.



Projetar um controlador em avanço-atraso de fase (usando a resposta em frequência) de modo a atender as seguintes especificações, no domínio do tempo:

- Sobressinal máximo menor do que 15%
- Tempo de pico menor ou igual a 2 segundos
- Coeficiente de erro de velocidade maior ou igual a 12

## Exemplo 4 – Diagramas de Bode para $C(s)=1$



## Exemplo 4

Seja

$$G(j\omega) = \frac{-5\omega - j(4 - \omega^2)}{\omega^2[25\omega^2 + (4 - \omega^2)^2]}$$

tem-se

$$|G(j\omega)| = \frac{1}{\omega\sqrt{25\omega^2 + (4 - \omega^2)^2}}$$

e

$$\angle G(j\omega) = -\operatorname{tg}^{-1}\left(\frac{-(4 - \omega^2)}{-5\omega}\right)$$

de onde obtém-se

$$\omega_{CG} = 0,243 \rightarrow \text{MF} = 72,9^\circ$$

$$\omega_{CF} = 2 \rightarrow \text{MG} = 26 \text{ dB}$$

## Exemplo 4 – Projeto 1

1. A partir das especificações de desempenho para a resposta transitória determinar MF e largura de faixa necessárias.

Sobressinal:

$$M_p \leq 15\% \Rightarrow \xi \geq 0,5168 \quad (\text{MF} \geq 52^\circ)$$

**Valor de Projeto: MF  $\equiv 55^\circ$  (ou  $\xi=0,55$ )**

Tempo de pico:

$$t_P = \frac{\pi}{\omega_n \sqrt{1 - \xi^2}} \quad \text{ou} \quad \omega_n = \frac{\pi}{t_P \sqrt{1 - \xi^2}}$$

## Exemplo 4 – Projeto 1

Lembrando a relação

$$\omega_B = \omega_n \sqrt{(1 - 2\xi^2) + \sqrt{4\xi^4 - 4\xi^2 + 2}}$$

e colocando  $\omega_B$  em função de  $t_p$ , chega-se a

$$\omega_B = \frac{\pi}{t_p \sqrt{1 - \xi^2}} \sqrt{(1 - 2\xi^2) + \sqrt{4\xi^4 - 4\xi^2 + 2}}$$

Usando os limites de projeto

$$\xi = 0,55 \text{ (MF} = 55^\circ \text{)} \quad \text{e} \quad t_p = 2$$

encontra-se a frequência de corte necessária para atender as especificações:

$$\omega_B = 2,28$$



## Exemplo 4 – Projeto 1

1. A partir das especificações de desempenho para a resposta transitória determinar MF e largura de faixa necessárias:

$$MF = 55^\circ \quad \omega_B = 2,28$$

2. Ajustar o ganho K para atender a especificação de regime permanente,  $K_v \geq 12$  :

$$K_v = \lim_{s \rightarrow 0} sKG(s) = \frac{K}{4} \rightarrow K \geq 48$$

Valor de projeto:  $K \equiv 50$



## Exemplo 4 – Projeto 1

3. Verificar MF e frequência de cruzamento de ganho ( $\omega_{cg}$ ) para  $KG(j\omega)$ .

Para  $K=50$ :

$$|KG(j\omega)| = \frac{50}{\omega\sqrt{25\omega^2 + (4 - \omega^2)^2}}$$

$$\frac{50}{\omega\sqrt{25\omega^2 + (4 - \omega^2)^2}} = 1 \rightarrow \omega^6 + 17\omega^4 + 16\omega^2 - 2500 = 0$$

$$\omega = \pm 3,07$$

$$\omega = 1,24 \pm j1,84 \rightarrow \omega_{CG} = 3,07$$

$$\omega = -1,24 \pm j1,84$$

## Exemplo 4 – Projeto 1

A fase do sistema é dada por:

$$\angle G(j\omega) = -\operatorname{tg}^{-1}\left(\frac{-(4-\omega^2)}{-5\omega}\right)$$

Portanto a margem de fase será:

$$MF = 180^\circ - \operatorname{tg}^{-1}\left(\frac{-(4-\omega_{CG}^2)}{-5\omega_{CG}}\right) = -19,5^\circ$$

Frequência de cruzamento de fase (sem alteração):

$$\angle G(j\omega) = -180^\circ \rightarrow 4 - \omega^2 = 0$$

$$\omega_{CF} = 2$$

## Exemplo 4 – Projeto 1

Portanto, a margem de ganho será

$$MG = \frac{1}{|KG(j\omega)|} = 0,4$$

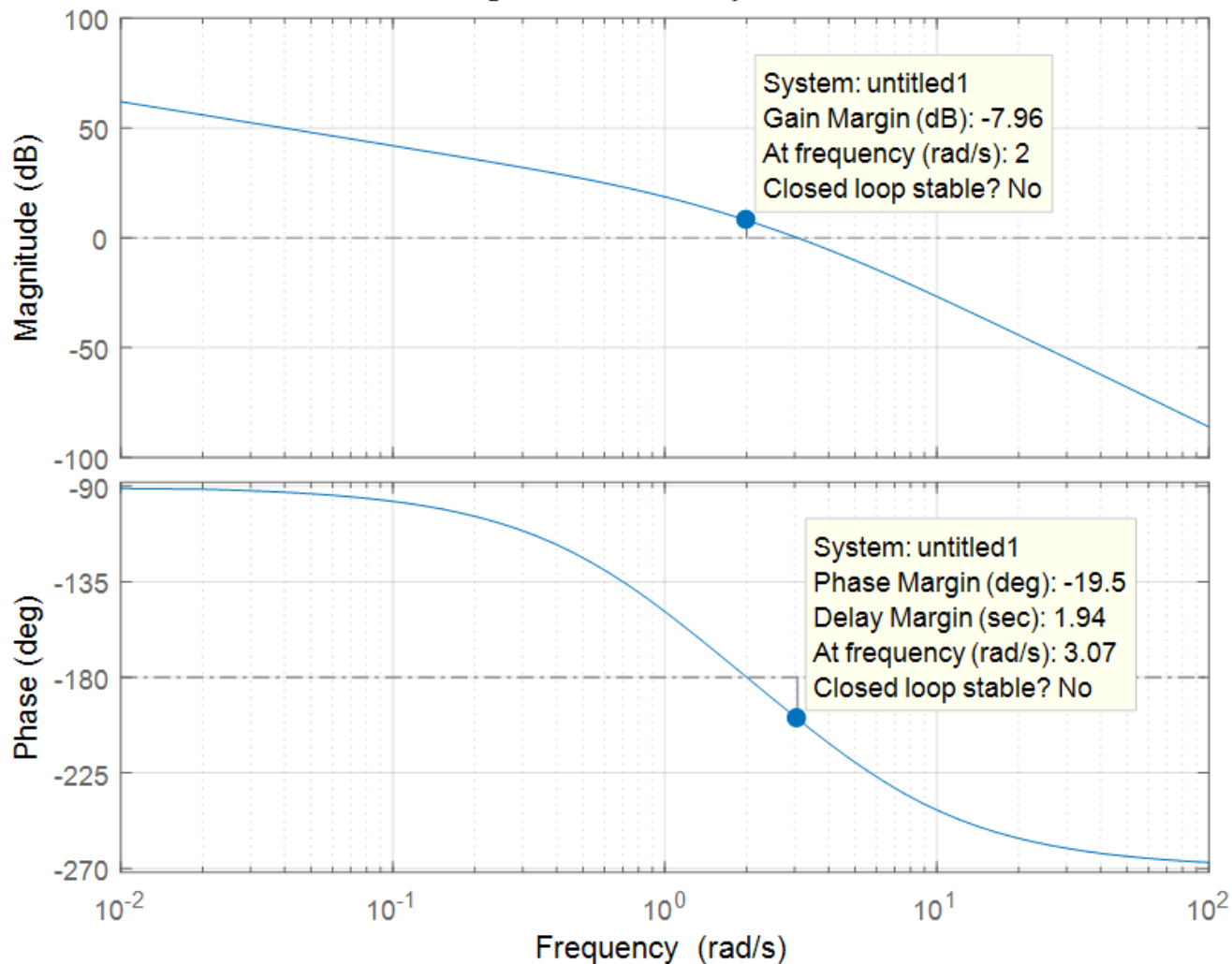
ou

$$MG_{dB} = -7,96 \text{ dB}$$

O sistema torna-se instável ( $MG < 0$  e  $MF < 0$ ) após o ajuste de ganho, necessário para atender a especificação de erro de regime permanente.

# Exemplo 4 – Projeto 1

Diagramas de Bode para K=50



## Exemplo 4 – Projeto 1

4. Determinar a nova frequência de cruzamento de ganho,  $\omega_c$ , próximo da largura de faixa desejada ( $\omega_B = 2,28$ ).

Para escolhas de  $\omega_c$  (abaixo de  $\omega_B$ ), tem-se:

$$\omega_c = 1,8 \rightarrow MF = 5^\circ$$

$$\omega_c = 2,0 \rightarrow MF = 0^\circ$$

$$\omega_c = 2,2 \rightarrow MF = -4^\circ$$

O valor adotado para o Projeto 1 será:

$$\omega_c \equiv 1,8$$

## Exemplo 4 – Projeto 1

5. Determinar a contribuição angular do controlador em avanço,  $\phi_m$ , de modo a atender a MF desejada.

MF do sistema (KG)

ajuste do atraso

$$\phi_m = 55^\circ - 5^\circ + 11^\circ - 6^\circ = 55^\circ$$

MF Desejada

ajuste do avanço

## Exemplo 4 – Projeto 1

6. Determinar  $\alpha$  a partir dos requisitos do avanço:

$$\alpha = \frac{1 + \sin \phi_m}{1 - \sin \phi_m} \rightarrow \alpha = 10$$

7. Projetar o controlador em atraso, escolhendo o zero uma década abaixo da nova frequência de cruzamento de ganho.

$$z_{AT} = \frac{1}{T_2} = \frac{\omega_c}{10} \rightarrow z_{AT} = 0,18$$

## Exemplo 4 – Projeto 1

Assim,

$$P_{AT} = \frac{1}{\alpha T_2} = 0,018$$

O controlador em atraso fica

$$C_{AT}(s) = \frac{s + 0,18}{s + 0,018}$$



## Exemplo 4 – Projeto 1

### 8. Determinar polo e zero do controlador em avanço:

$$T_1 = \frac{1}{\omega_c \sqrt{1/\alpha}} = 1,76$$

Portanto,

$$z_{AV} = \frac{1}{T_1} = 0,57 \quad P_{AV} = \frac{\alpha}{T_1} = 5,7$$

O controlador em avanço fica:

$$C_{AV}(s) = \frac{s + 0,57}{s + 5,7}$$

## Exemplo 4 – Projeto 1

Controlador avanço-atraso:

$$C(s) = 50 \left( \frac{s + 0,18}{s + 0,018} \right) \left( \frac{s + 0,57}{s + 5,7} \right)$$

## Exemplo 4 – Projeto 1

### 9. Verificação do Projeto:

$$C(s)G(s) = \frac{50}{s(s+1)(s+4)} \left( \frac{s+0,18}{s+0,018} \right) \left( \frac{s+0,57}{s+5,7} \right)$$

$$\omega_{CG} = 1,76 \rightarrow \text{MF} = 55,5^\circ$$

$$\omega_{CF} = 5,02 \rightarrow \text{MG} = 13,9 \text{ dB}$$

$$\text{Sobressinal: } \xi = 0,555 \rightarrow M_p = 12,3\% < 15\%$$

Largura de faixa:

$$|C(j\omega)G(j\omega)| = -3 \text{ dB} \rightarrow \omega_B = 2,3$$

## Exemplo 4 – Projeto 1

Tempo de pico:

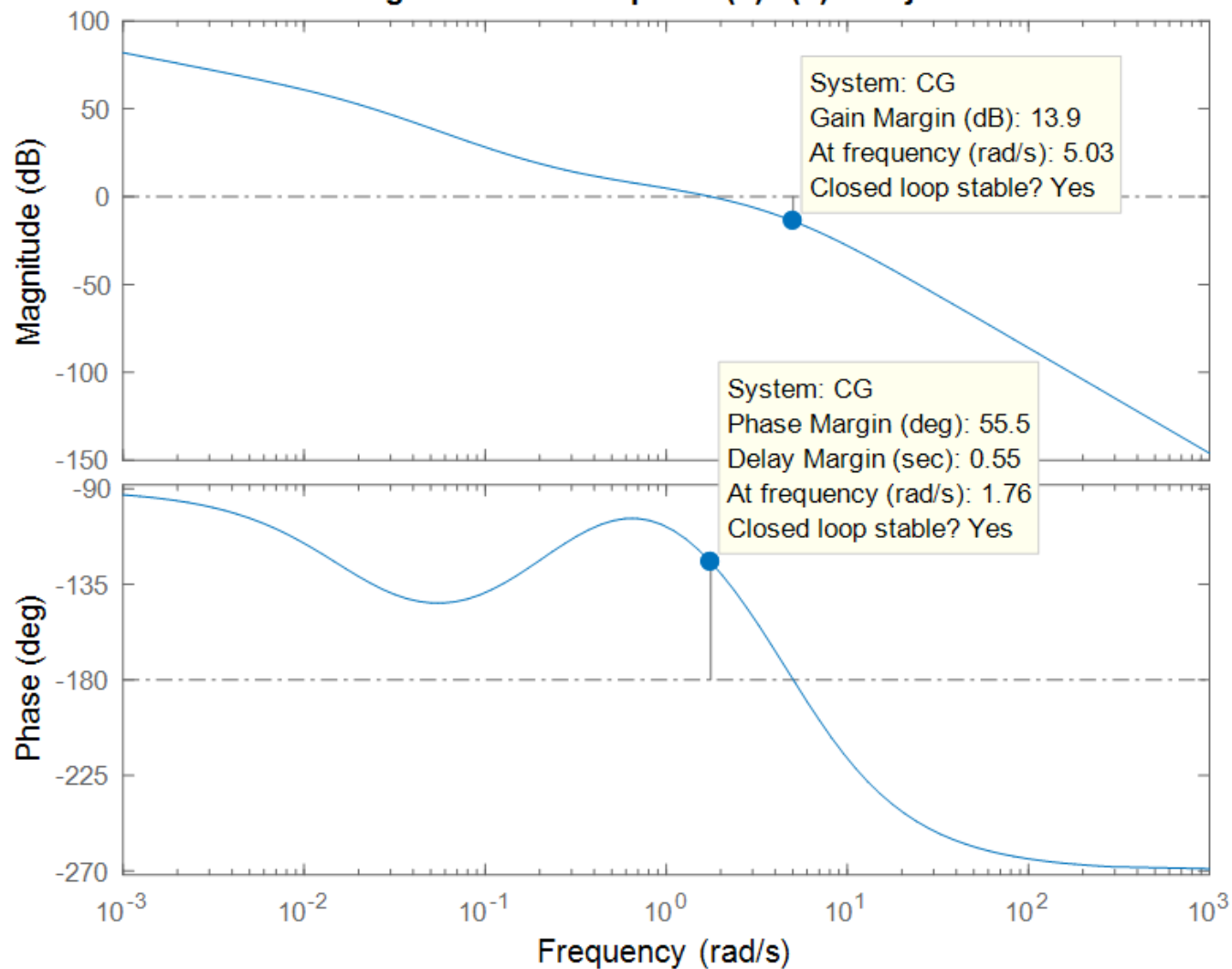
$$t_P = \frac{\pi}{\omega_B \sqrt{1 - \xi^2}} \sqrt{(1 - 2\xi^2) + \sqrt{4\xi^4 - 4\xi^2 + 2}} = 1,98 < 2$$

Coeficiente de erro:

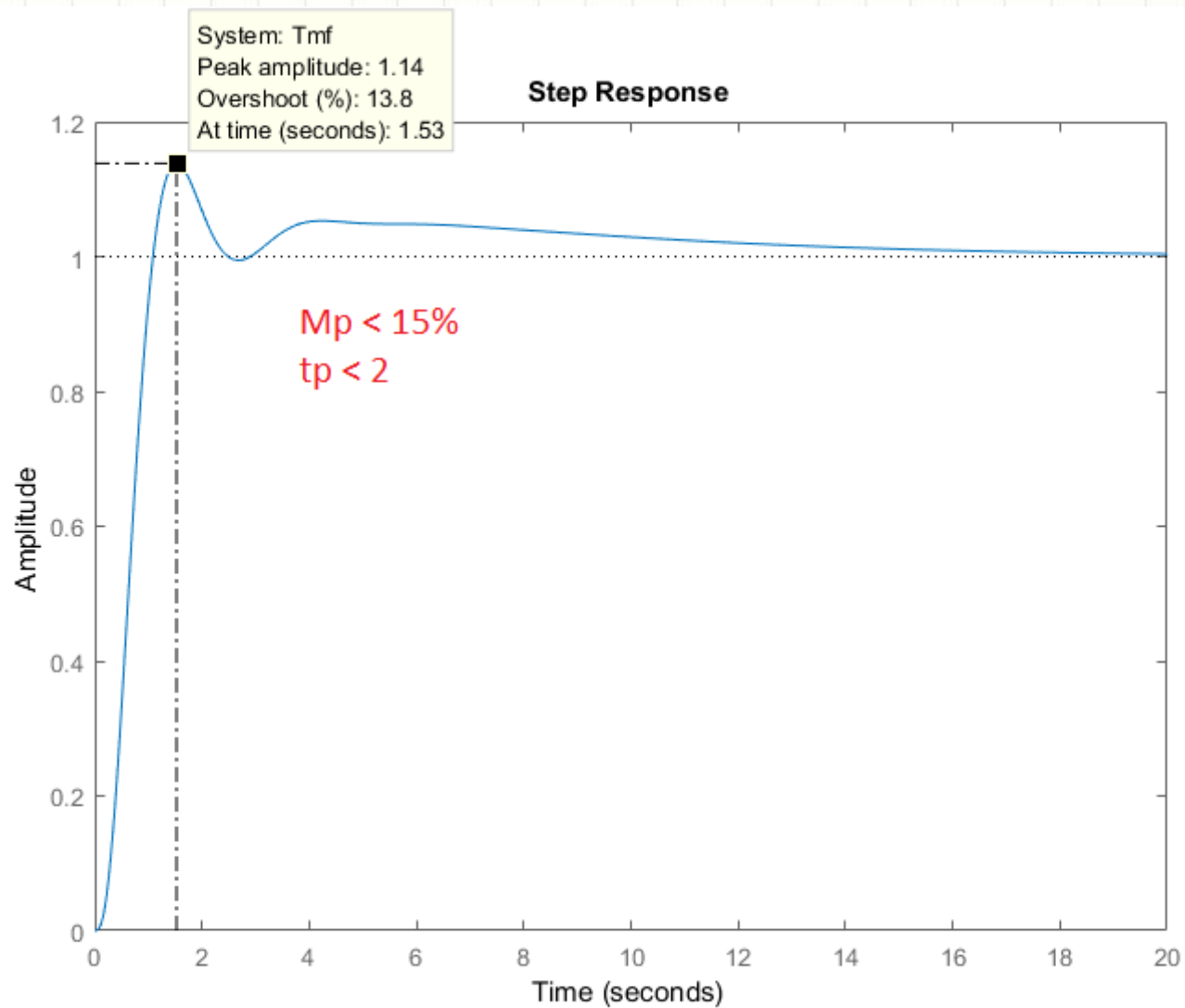
$$K_V = \frac{50}{4} = 12,5 > 12 \quad \rightarrow \quad e_\infty = 8\%$$

# Exemplo 4 – Projeto 1

Diagramas de Bode para  $C(s)G(s)$  - Projeto 1



# Exemplo 4 – Projeto 1



## Exemplo 4 – Projeto 2 ( $\omega_c = 2$ )

Escolhendo  $\omega_c = 2$ :

$$\omega_c \equiv 2,0 \rightarrow \text{MF} = 0^\circ$$

Mantendo a mesma contribuição de fase para o controlador em avanço:

$$\phi_m = 55^\circ \rightarrow \alpha = 10$$

O zero do controlador em atraso pode ser definido por

$$z_{AT} = \frac{1}{T_2} = \frac{\omega_c}{10} \rightarrow z_{AT} = 0,2$$

## Exemplo 4 – Projeto 2 ( $\omega_c = 2$ )

e o polo por:

$$p_{AT} = \frac{1}{\alpha T_2} \rightarrow p_{AT} = 0,02$$

Assim, o controlador em atraso é definido como:

$$C_{AT}(s) = \frac{s + 0,2}{s + 0,02}$$

O controlador em avanço será determinado a partir de:

$$T_1 = \frac{1}{\omega_c \sqrt{1/\alpha}} = 1,58$$



## Exemplo 4 – Projeto 2 ( $\omega_c = 2$ )

Polo e zero do controlador em avanço serão:

$$p_{AV} = \frac{\alpha}{T_1} = 0,6325$$

e

$$z_{AV} = \frac{1}{T_1} = 6,325$$

Assim, o controlador em avanço é definido como:

$$C_{AV}(s) = \frac{s + 0,6325}{s + 6,325}$$

## Exemplo 4 – Projeto 2 ( $\omega_c = 2$ )

### Verificação do Projeto

$$C(s)G(s) = \frac{50}{s(s+1)(s+4)} \left( \frac{s+0,6325}{s+6,325} \right) \left( \frac{s+0,2}{s+0,02} \right)$$

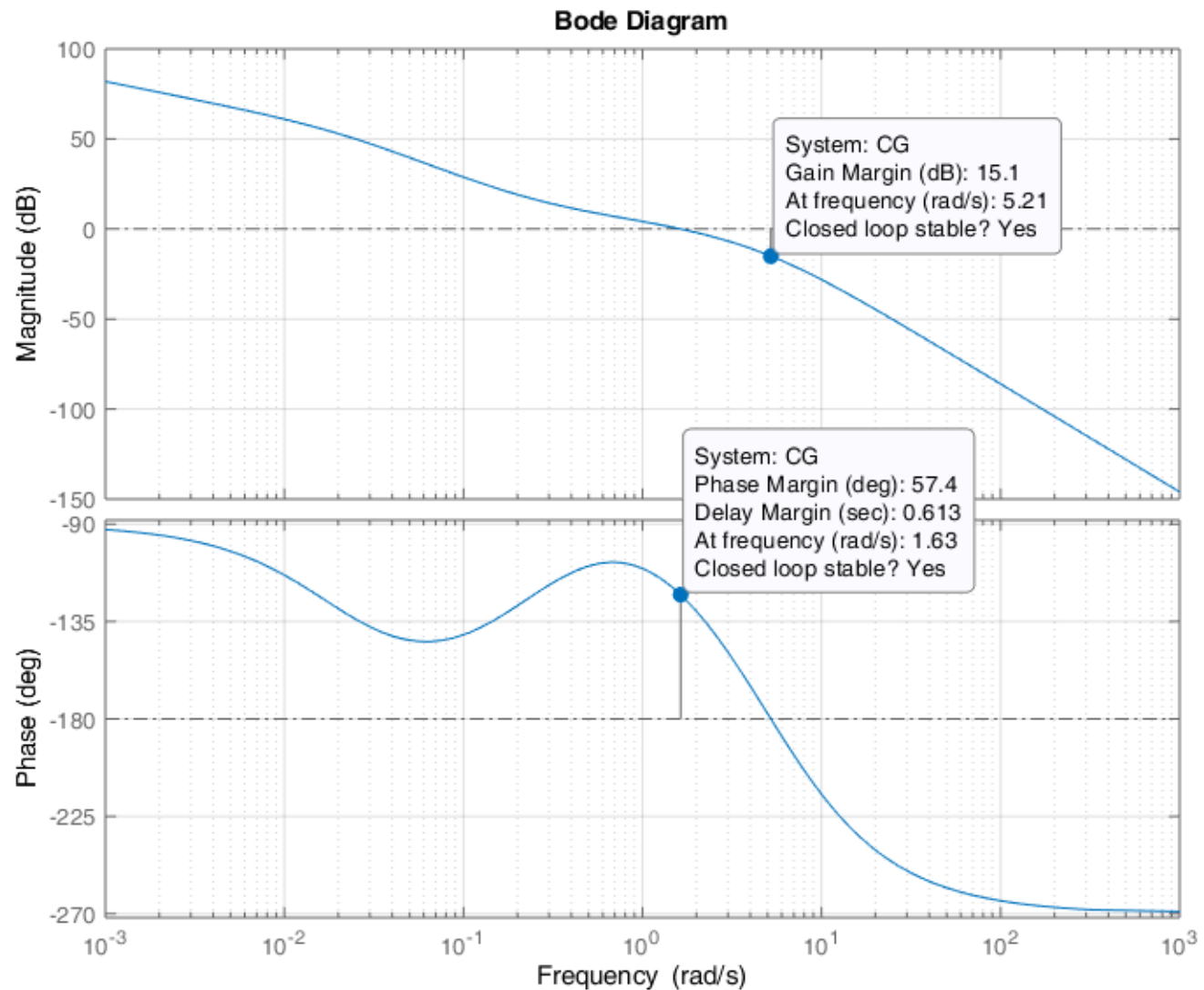
$$\omega_{CG} = 5,21 \rightarrow \text{MF} = 57,4^\circ$$

$$\omega_{CF} = 1,63 \rightarrow \text{MG} = 15 \text{ dB}$$

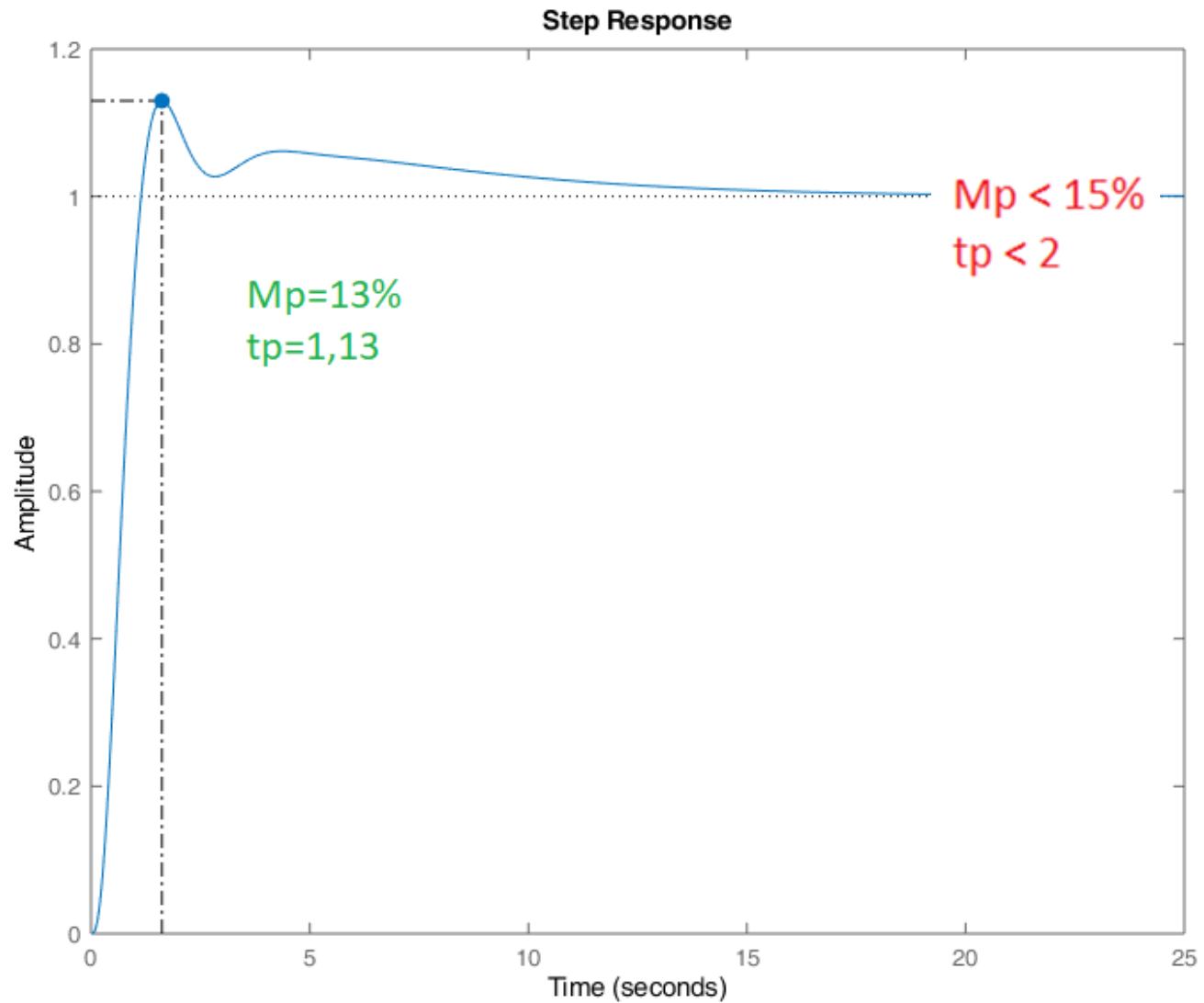
$$\xi = 0,574 \rightarrow M_p = 11\% < 15\%$$

$$K_v = \frac{50}{4} = 12,5 \rightarrow e_\infty = 8\%$$

## Exemplo 4 – Projeto 2 ( $\omega_c = 2$ )



## Exemplo 4 – Projeto 2 ( $\omega_c = 2$ )



## Exemplo 4 – Projeto 3 ( $\omega_c = 2$ e $\phi_m = 60^\circ$ )

Mantendo a escolha de  $\omega_c = 2$

$$\omega_c \equiv 2,0 \rightarrow \text{MF} = 0^\circ$$

e aumentando a contribuição de fase do controlador em avanço para  $60^\circ$ , obtém um novo  $\alpha$ :

$$\phi_m = 60^\circ \rightarrow \alpha = 14$$

Refazendo o projeto chega-se a um novo controlador avanço-atraso:

$$C(s) = 50 \left( \frac{s + 0,535}{s + 7,483} \right) \left( \frac{s + 0,2}{s + 0,014} \right)$$

## Exemplo 4 – Projeto 3 ( $\omega_c = 2$ e $\phi_m = 60^\circ$ )

### Verificação do Projeto

$$C(s)G(s) = \frac{50}{s(s+1)(s+4)} \left( \frac{s+0,535}{s+7,483} \right) \left( \frac{s+0,2}{s+0,014} \right)$$

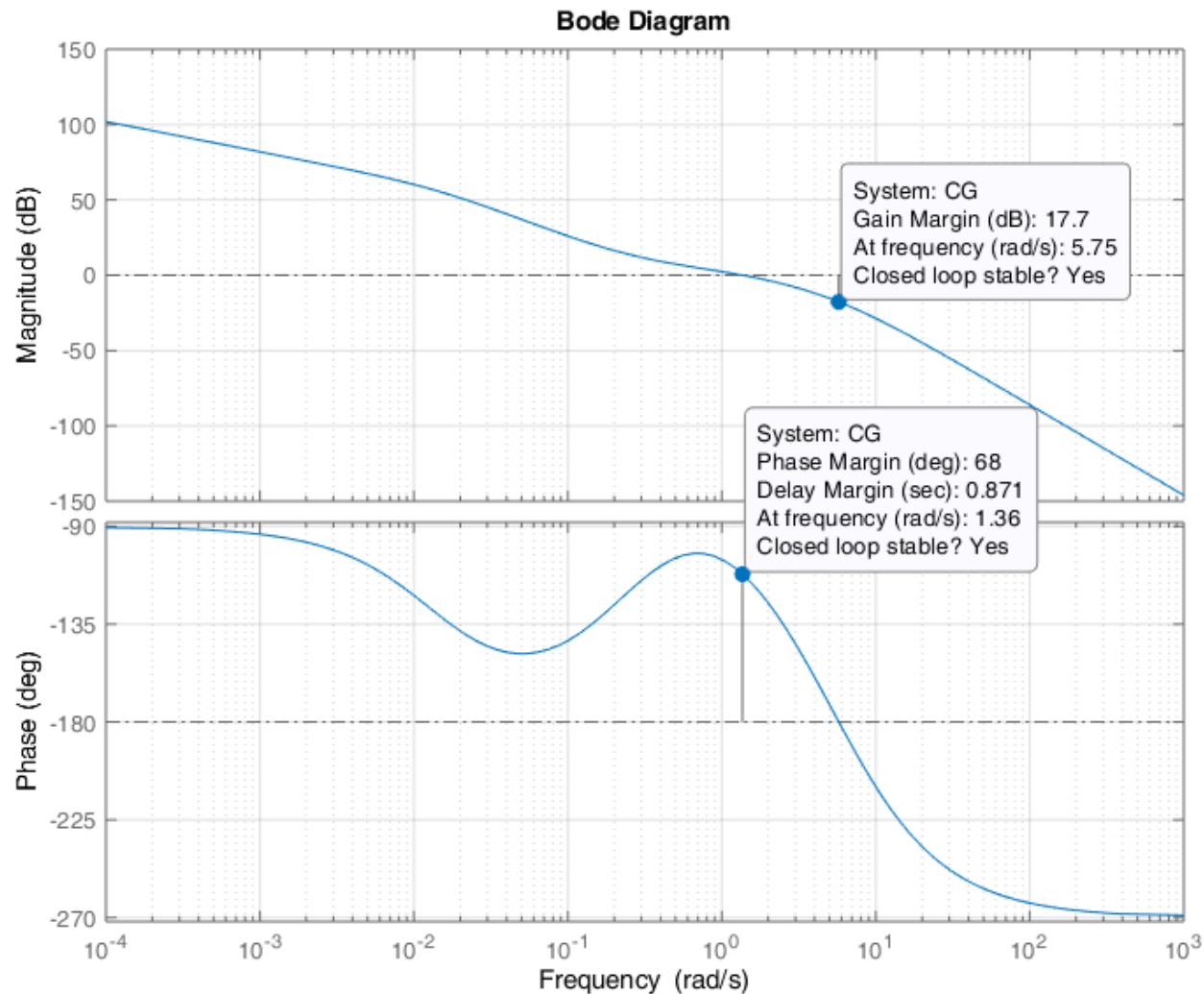
$$\omega_{CG} = 5,75 \rightarrow \text{MF} = 68^\circ$$

$$\omega_{CF} = 1,36 \rightarrow \text{MG} = 17,7 \text{ dB}$$

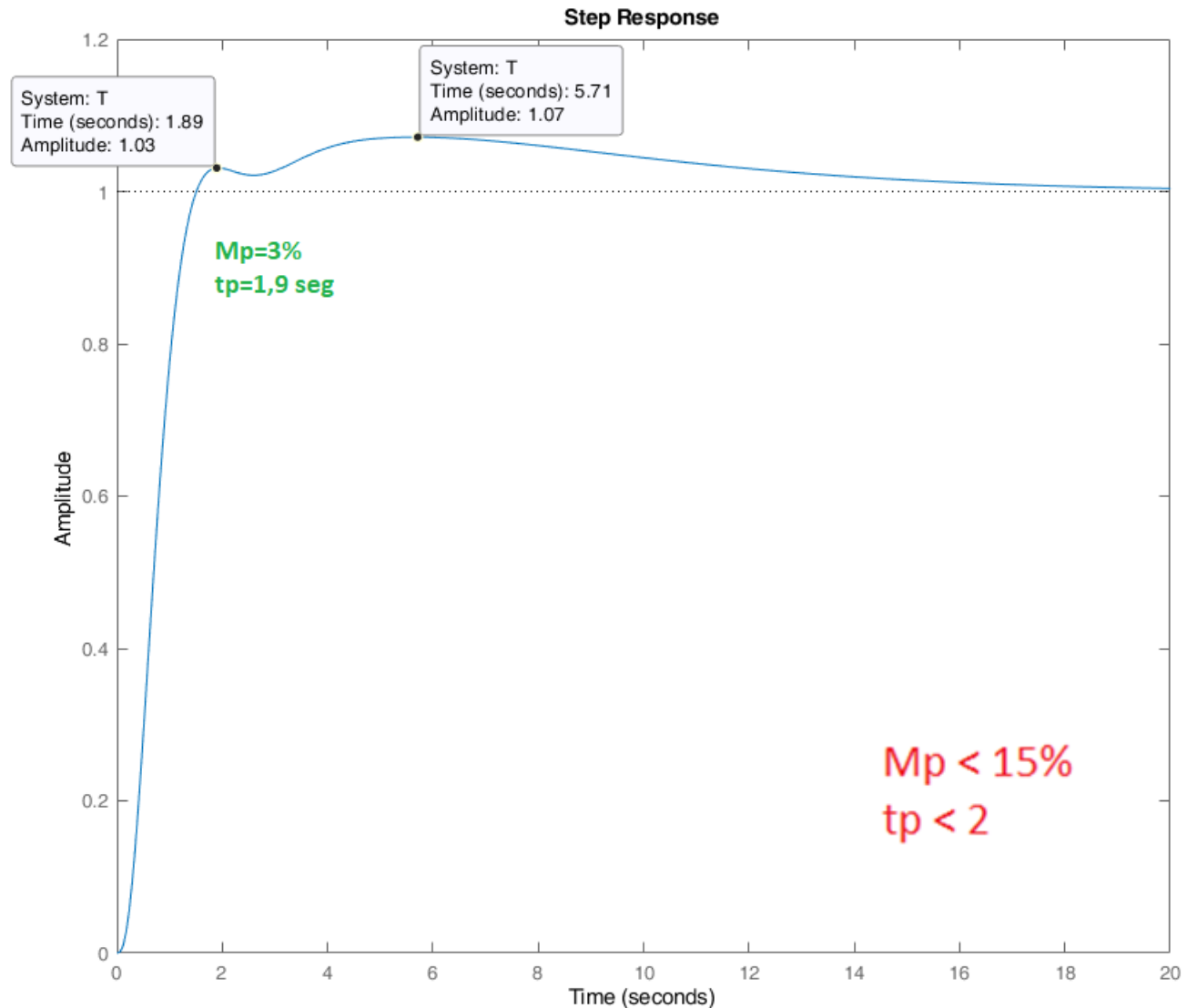
$$\xi = 0,68 \rightarrow M_p = 5,4\% < 15\%$$

$$K_v = \frac{50}{4} = 12,5 \rightarrow e_\infty = 8\%$$

## Exemplo 4 – Projeto 3 ( $\omega_c = 2$ e $\phi_m = 60^\circ$ )



## Exemplo 4 – Projeto 3 ( $\omega_c = 2$ e $\phi_m = 60^\circ$ )





## Exemplo 4 – Projeto 4 (Controlador Avanço-PI)

Transformando o controlador em atraso do Projeto 2 em um PI tem-se um controlador PID Real (Avanço-PI):

$$C(s)G(s) = \frac{50}{s(s+1)(s+4)} \left( \frac{s+0,6325}{s+6,325} \right) \left( \frac{s+0,2}{s} \right)$$

Resultando em:

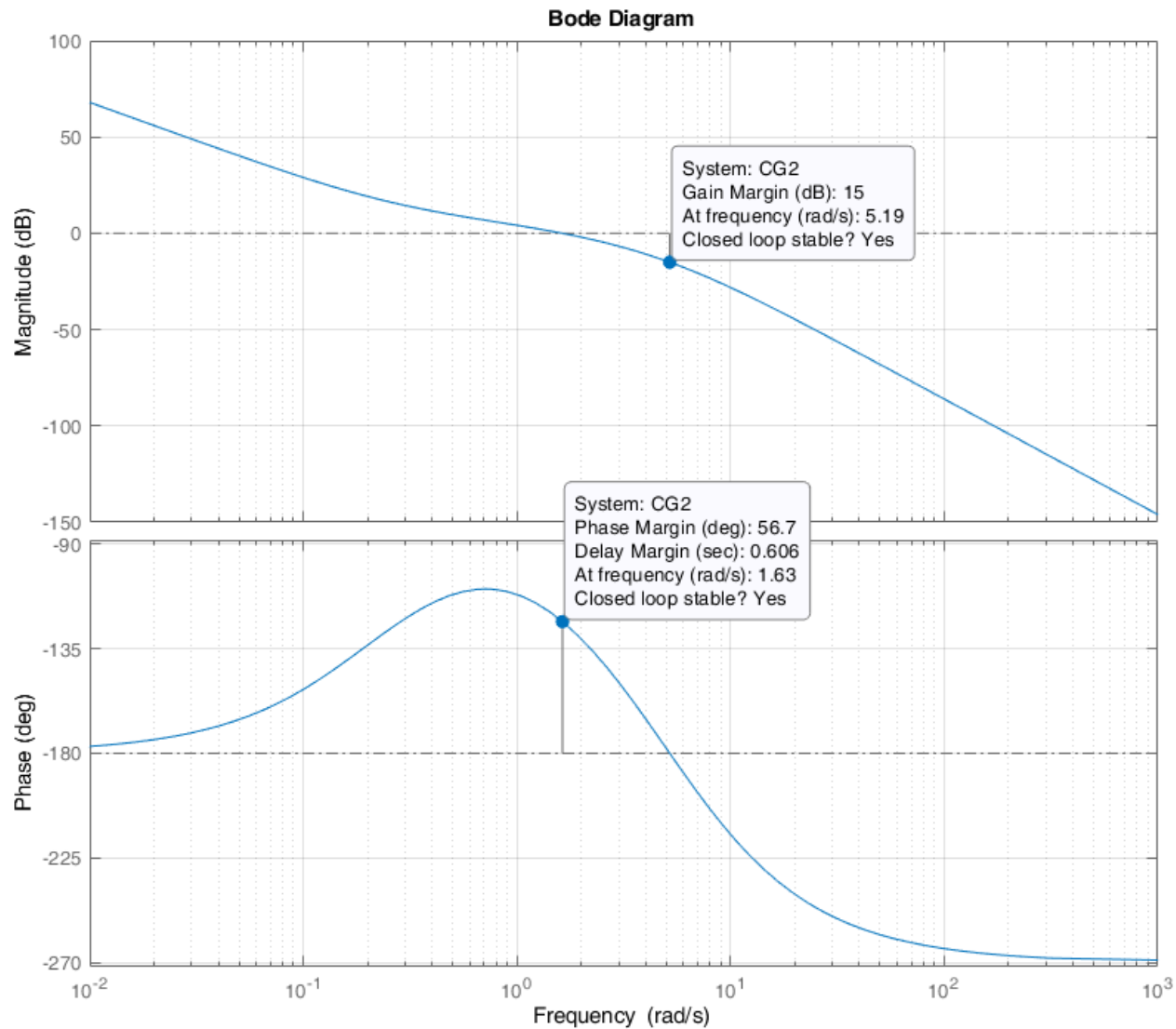
$$\omega_{CG} = 5,2 \rightarrow \text{MF} = 56,7^\circ$$

$$\omega_{CF} = 1,63 \rightarrow \text{MG} = 15 \text{ dB}$$

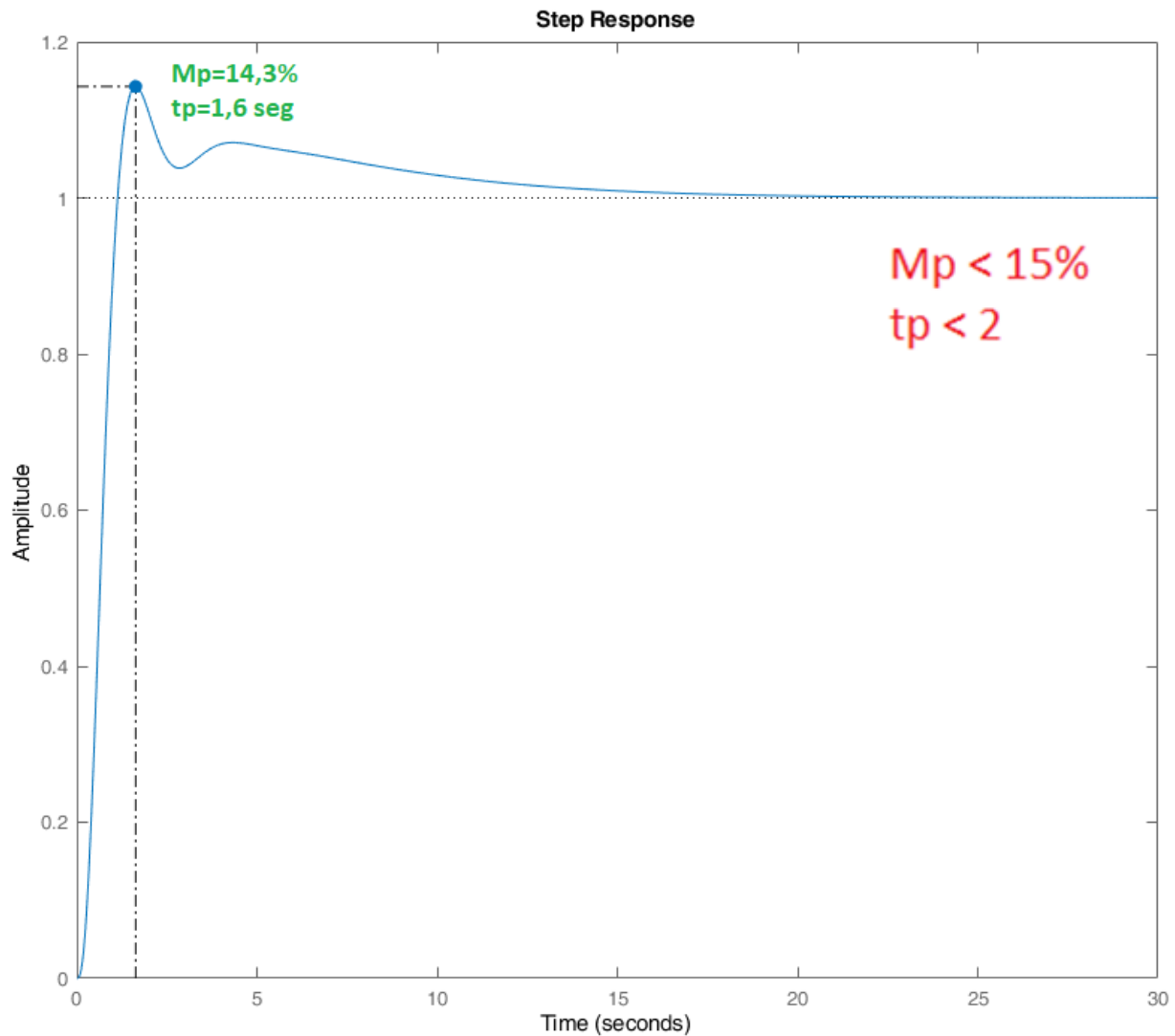
$$\xi = 0,567 \rightarrow M_p = 11,5\% < 15\%$$

$$K_V = \infty \rightarrow e_\infty = 0$$

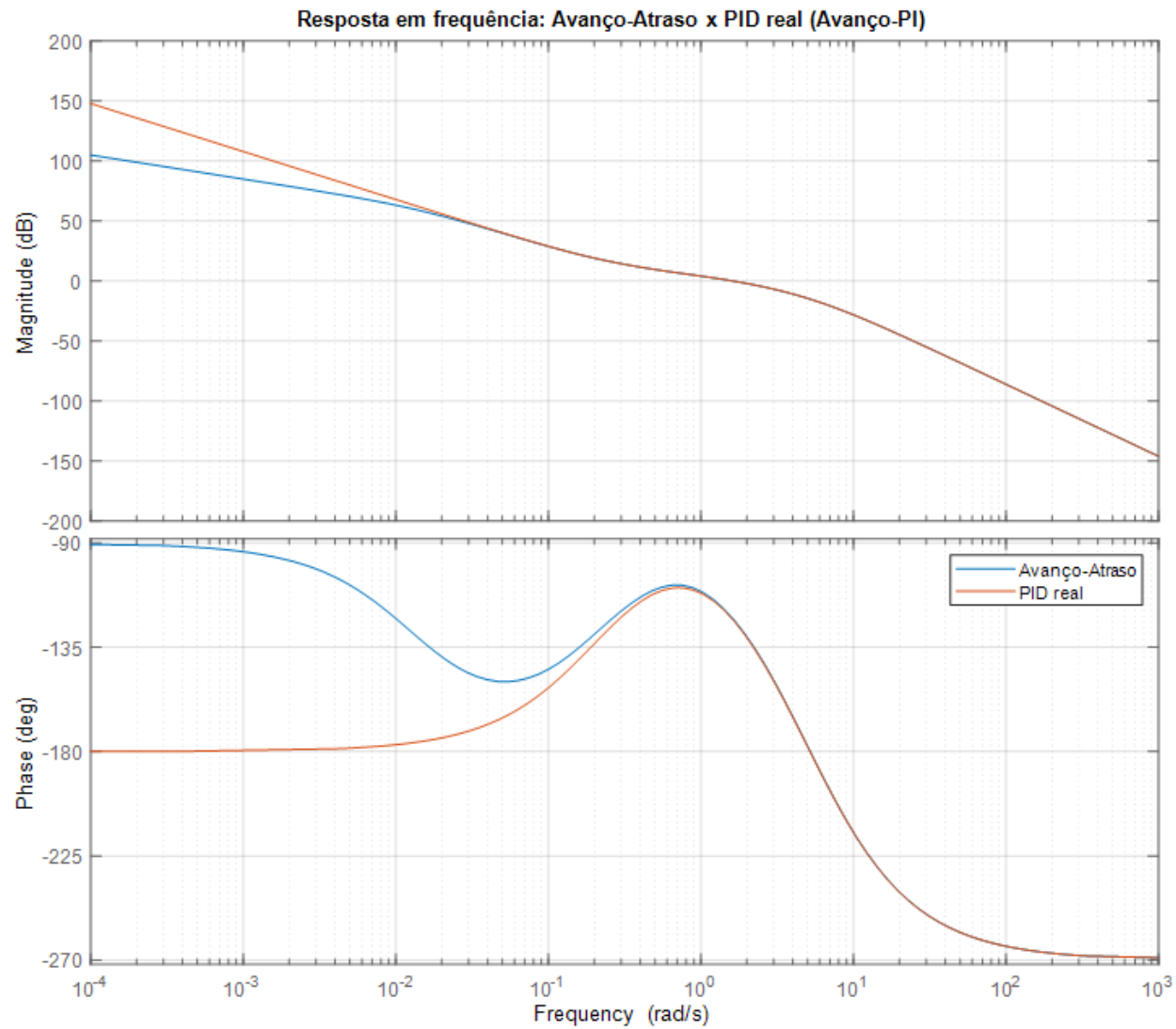
# Exemplo 4 – Projeto 4 (Controlador Avanço-PI)



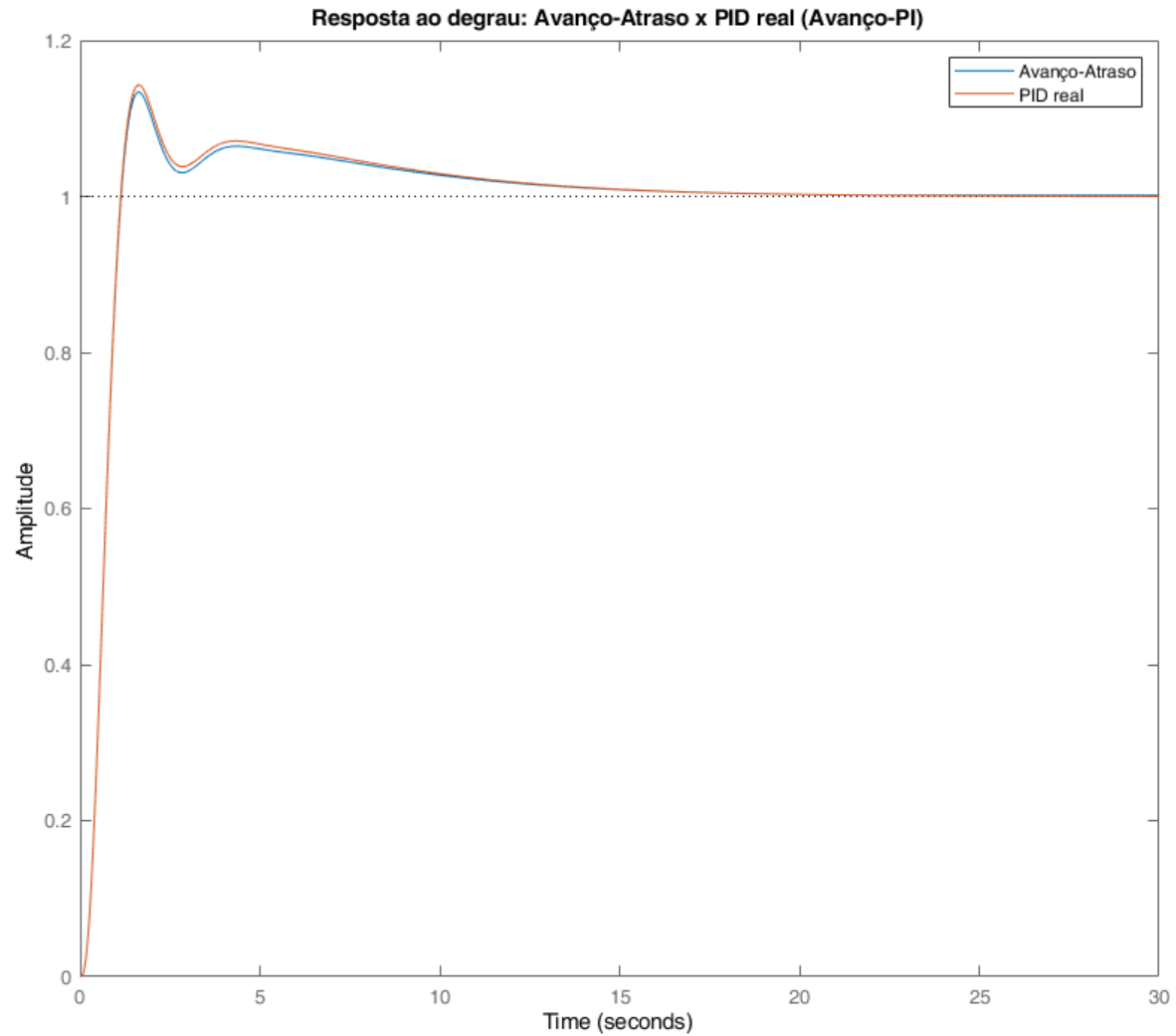
## Exemplo 4 – Projeto 4 (Controlador Avanço-PI)



# Avanço-Atraso x Avanço-PI



# Avanço-Atraso x Avanço-PI



## Exercícios Sugeridos

- a) Projetar um controlador avanço-atraso para o exemplo em estudo, considerando  $\alpha \neq \beta$ .
- b) Comparar os controladores obtidos para  $\alpha \neq \beta$  e  $\beta=1/\alpha$ .
- c) Tentar projetar um controlador mais simples para resolver o problema.